

BOLETÍN N°577

MES: MAYO

AÑO 2026

**INFORMACIÓN
PLUVIOMÉTRICA, NIEVES,
FLUVIOMÉTRICA, ESTADO DE
EMBALSES
Y AGUAS SUBTERRÁNEAS.**

CONTENIDO:

- 1. RESUMEN SITUACIÓN HIDROLÓGICA**
- 2. RESUMEN DE TABLAS Y GRÁFICOS, POR VARIABLE, ASOCIADAS A LAS ESTACIONES MÁS REPRESENTATIVAS CONTROLADAS**
 - 2.1 PLUVIOMETRÍA Y NIEVES**
 - 2.2 FLUVIOMETRÍA**
 - 2.3 EMBALSES**
 - 2.4 AGUAS SUBTERRÁNEAS**

Nota: Datos provisorios sujetos a modificación

SSD N°: 20258594

INTRODUCCIÓN

La Dirección General de Aguas (D.G.A.) pone a disposición su **Boletín Mensual de Información Hidrométrica**, que consolida los datos operativos de su red de monitoreo hidrológico crítica. Este documento proporciona información de cobertura nacional y carácter sintético, ofreciendo una visión integral de la situación hidrométrica con resolución temporal mensual y acumulada anual hasta la fecha de emisión.

La red hidrométrica se compone de una infraestructura distribuida de puntos de medición, que incluye estaciones fluviométricas, meteorológicas, nivométricas y piezométricas, además de incorporar los volúmenes almacenados en los principales embalses del país. Todos estos datos son generados, recopilados y mantenidos por este Servicio en el **Banco Nacional de Aguas (BNA)**.

Para acceder a un mayor nivel de detalle o realizar consultas técnicas sobre los datos presentados, se recomienda visitar el portal institucional de la D.G.A. en www.dga.mop.gob.cl, específicamente las plataformas denominadas Sistema Nacional de Información del Agua (SNIA) y el Sistema Hidrométrico en Línea. Es importante destacar que los valores publicados en este boletín son de carácter provisional, al tratarse de datos brutos no validados, los cuales se encuentran disponibles de forma permanente en los sistemas digitales antes mencionados."

I RESUMEN SITUACIÓN HIDROLÓGICA AL MES DE MAYO DE 2026

Precipitaciones

Durante mayo de 2026, el país registró una actividad pluviométrica muy baja, limitándose a apenas tres principales eventos. El primero ocurrió a principios de mes en las zonas Centro, Centro-Sur y Austral. A mediados de mayo, solo la zona Austral experimentó precipitaciones de escasa magnitud, mientras que, al cierre del mes, las lluvias se limitaron nuevamente a las zonas Sur y Austral.

Como consecuencia de lo anterior, actualmente se presentan condiciones de déficit pluviométrico en gran parte del país, solo registrando superávit en estaciones meteorológicas puntuales, específicamente en localidades como Chapiquiña y Calama en el extremo norte, Valdivia y Osorno en la zona sur y Punta Arenas en la zona austral del país. En contraste, entre las regiones de Atacama y Coquimbo se mantuvo un déficit pluviométrico importante.

La comparación entre los registros de mayo de 2026 (curva azul) y mayo de 2025 (curva verde) muestra que las precipitaciones en la zona central, hasta la región del Maule, fueron inferiores a las del año anterior. Esta tendencia se revierte en el tramo Maule-Araucanía, donde 2026 registra mayores valores. Finalmente, desde Los Ríos hasta Magallanes se observa una situación mixta, con valores de 2026 superiores e inferiores a los de 2025 de forma alternada (Figura 2.1.1).

Cartas Sinópticas

Se realizó un análisis sinóptico tomando los datos de reanálisis de NCEP Climate Forecast System Version 2 (CFSv2), Saha, S., et al. 2011, seleccionando una muestra horaria de dos eventos importantes de precipitación ocurridos durante mayo de 2026. Las fechas aproximadas de estos eventos son las siguientes:

- 2 al 7 de mayo: zona centro sur y austral afectada
- 27 al 30 de mayo zona sur y austral afectada

La elección de las muestras (Figura 2.1.3) responde a un criterio subjetivo, priorizando la representación de las variables seleccionadas y su asociación con los registros de precipitación de la red hidrometeorológica de la Dirección General de Aguas (DGA). Este análisis tiene como objetivo visualizar el agua precipitable (PWAT) aportado al continente, los sistemas de baja presión (PRMSL) y temperatura asociados (Temp) y el comportamiento de los vectores de viento (UV), evidenciando la intensidad de los fenómenos meteorológicos.

Perfiles de Temperatura

Se desarrollaron perfiles verticales de temperatura (Figura 2.1.4) con radiosondeos obtenidos desde el portal de la universidad de Wyoming (<https://weather.uwyo.edu/upperair/sounding.shtml>), para los puntos de Santo Domingo, Puerto Montt y Punta Arenas, con el fin de realizar una caracterización general de la isoterma cero en cada zona cercana a las localidades. La Isoterma cero fue obtenida mediante el método desarrollado por Guo et al. (2021) el cual consiste en la interpolación entre los niveles de presión

o niveles significativos identificando el nivel donde la temperatura cambia de signo de positivo a negativo.

Evento del 2 al 7 de mayo

En este primer evento, el mapa de presión a nivel del mar y altura geopotencial a 500 hPa muestra una configuración sinóptica muy marcada con una profunda vaguada de orientación noreste-suroeste a la altura de la región de los lagos, evidenciada por los valores de 5300-5400 metros geopotenciales (gpm). Se observa un sistema de baja presión en superficie asociado con valores cercanos a 1000 hPa en el Pacífico sur. La carta sinóptica de agua precipitable revela una banda de humedad concentrada con valores cercanos de 30 kg/m² el cual la zona sur del país. Los vientos en niveles bajos muestran una intensa circulación ciclónica en latitudes medias entre los 40-50°S, con un gradiente térmico muy marcado que va desde 25°C en el norte hasta temperaturas cercanas a 0°C en el extremo sur del país.

Tres días después, la situación sinóptica mantiene características similares, pero con una evolución del sistema, puntualmente con un desplazamiento hacia la zona centro-sur. La vaguada en el Pacífico ahora tiene orientación noroeste-sureste y persiste con valores entre 5600 a 5800 gpm. El gradiente de presión destaca, con una baja presión por delante de la vaguada y una alta presión por detrás de esta, constituyendo el típico patrón de conjunción sinóptica de altura y superficie. En cuanto al agua precipitable, se aprecia una banda más organizada que comienza a penetrar hacia el continente sudamericano, particularmente sobre la zona central y sur, creando condiciones favorables para precipitación. El campo de viento y temperatura muestra una circulación ciclónica bien definida sobre la baja presión descrita, con aire frío avanzando desde la Patagonia y vientos intensos del suroeste que refuerzan el transporte de aire polar hacia latitudes más bajas.

En cuanto a la isoterma cero en la zona centro-sur el evento comienza con magnitudes altas 4114 m y 2543 m disminuyendo al término del evento a 2887 m y 2074 m tanto en la zona centro-sur como en la zona sur, conforme en las localidades de referencia de Santo Domingo y Puerto Montt respectivamente. En cuanto a la ciudad de Punta Arenas ocurrió lo contrario, con un aumento de 400 m entre el día 3 y el día 6 de mayo del presente año (Figura 2.1.4).

Evento del 27 al 30 de mayo

A fines de mayo, el patrón sinóptico experimenta un cambio significativo hacia una configuración más zonal con menor amplitud de las ondas en altura. La carta de geopotencial a 500 hPa muestra isolíneas más rectas orientadas oeste-este, con valores de 5400-5800 gpm distribuidos de manera más uniforme. Las presiones a nivel del mar son más altas sobre el continente, indicando condiciones más estables en la zona centro-sur del país. Solo se visualizan dos bajas presiones posicionadas en la zona austral del país y en el océano pacífico alrededor de los 35°S y 90°O. En complemento el campo de vientos muestra dos circulaciones ciclónicas con procedencia desde el noroeste posicionados alrededor de las bajas presiones y transportando vapor de agua desde la Zona de Convergencia del Pacífico Sur hasta la parte austral del país. Las temperaturas muestran un descenso generalizado característico del avance del otoño hacia el invierno, con valores más bajos en todo el dominio espacial.

En cuanto a la isoterma cero los valores se mantuvieron en torno a los 3710 m y 2354 m en Santo Domingo y Puerto Montt respectivamente. En relación a Punta Arenas el evento de precipitación se presentó con una magnitud de 1582 m un valor mucho mayor en relación al del evento anterior (Figura 2.1.4).

Nieves

Durante el mes de mayo, no se ha constatado acumulación nival alguna, por lo que el promedio de nieve caída en las rutas de nieve presenta un déficit del 100% respecto al promedio 1991-2020. Por su parte, el Equivalente en Agua de la Nieve (EAN) derivado de la altura del manto nival presenta el mismo déficit.

La situación nival del país es deficitaria respecto a lo acumulado a la fecha en mayo de 2025.

Caudales

Durante el mes de mayo de 2026 se observó que, la mayoría de los cauces monitoreados por la Dirección General de Aguas (DGA) presentó una tendencia heterogénea en sus caudales. Donde, de un total de 30 estaciones analizadas, 14 registraron descensos en relación con el mes anterior, con una variación promedio del -14%. En contraste, 16 estaciones presentaron aumentos, los que alcanzaron en promedio un 29% respecto de abril de 2026.

Al desagregar los resultados por zona geográfica, se observó que, en el Norte Grande, la Región de Atacama presentó un comportamiento en general con tendencia positiva, por una parte, se encuentra el *río Copiapó* cuyo caudal evidenció una disminución del 24% respecto del periodo anterior, sin embargo, la estación *río Huasco en El Maitén*, mostró un incremento significativo que alcanzó el 84%. En contraste, el tramo comprendido entre el Norte Chico y Zona centro (desde la Región de Coquimbo hasta la Región del Maule), se registró una condición mayoritariamente desfavorable, con una disminución promedio del 17,4% en los caudales analizados. Dentro de este tramo, el *río Alicahue* (Región del Valparaíso) presentó el principal descenso, alcanzando un 49% menos de caudal. En tanto, los caudales que presentaron una tendencia positiva alcanzando un 28,2 % de aumento, donde destaca Río Perquillauquen (R. del Maule) con un 107%, seguido de *Río Grande en Las Ramadas* con un 41%. En la zona sur se registraron aumentos en todas las secciones monitoreadas, alcanzando un 72% más de caudal pasante en promedio, donde la estación que presentó mayor variación positiva fue río Negro en Chahuilco (R. de Los Lagos).

Al comparar los caudales medios mensuales de mayo de 2026 con los registrados en igual mes del año 2025, se observó que el 83% de las estaciones presentaron descensos, con una disminución promedio de 28,5% a nivel nacional respecto del año anterior. La mayor variación negativa se registró en *río Hurtado en San Agustín* (R. de Coquimbo) con una reducción de 58%, seguido por el *río Sobrante en Piñadero* (R. de Valparaíso) con un 50%. En contraste, un grupo acotado de estaciones presentaron incrementos en sus caudales, las cuales son detalladas a continuación *Río Cachapoal en Puente Termas* (32%), *Río Teno después de Junta con Claro* (2%), *Río Biobío en Llanquén* (12%), *Río Cautín en Cajón* (72%), *Río Paine en Parque Nacional 2* (31%). En conjunto, estas estaciones registraron un aumento promedio de 29,6%.

El análisis del comportamiento de los caudales en relación al promedio histórico (1991–2020), evidencia una condición deficitaria a nivel nacional donde, las estaciones presentaron

inferiores a sus referencias históricas alcanzando un déficit promedio del 51%. La mayor variación negativa se registra en el río *Cisnes ante junta Moro* (Aysén) con 79% por debajo de su media histórica, seguido por el río *Elqui en Algarrobal* (Coquimbo) con un déficit 76%. En contraste, algunas estaciones evidenciaron valores superiores a sus referencias históricas alcanzando un 10% en promedio. Entre estas, destacó *río Cachapoal en Puente Termas* (O'Higgins), con un aumento del 31%.

Finalmente, en relación con los caudales mínimos históricos para el mes de mayo, el 93% de los cauces monitoreados por la DGA presentó valores superiores a dichos registros mínimos. En contraparte, 2 estaciones, equivalentes al 7% de los puntos analizados, se situaron por debajo de sus mínimos históricos, las estaciones en dicha situación fueron *río Elqui en Algarrobal* y *río Hurtado en San Agustín* ambas pertenecientes a la Región de Coquimbo, cuyos registros alcanzaron un déficit del 37% y 34%, respectivamente, en comparación con sus caudales mínimos históricos para el mes analizado.

Embalses

En el transcurso del mes de mayo 2026, los embalses exhibieron un descenso del 6,0% respecto al mes de abril 2026. Al desglosar por tipo de embalse, se observa que aquellos destinados a "*Solo Generación*", "*Agua Potable*" y "*Generación y Riego*" experimentaron una disminución del 9,8%, 7,2% y 5,7% respectivamente. En cambio, los embalses destinados a "*Solo Riego*" muestran un incremento de un 12,0% en su volumen respecto al mes pasado, destacándose el embalse Convento Viejo, el cual incrementó su volumen en un 32% respecto al volumen registrado en el mes de abril.

Realizando un comparativo del volumen total actual embalsado en el país que alcanza los 4.012 mill-m³, con mayo 2025 el cual fue de 4.779 mill-m³, exhibiendo una reducción de un 16,0% de agua almacenada con respecto al mismo periodo del año anterior. Al desagregar, y de manera decreciente, los embalses que presentan un mayor descenso en su volumen corresponden a los embalses mixtos (*Generación y Riego*) con un 32,0%, continuados por los embalses destinados a "*Agua Potable*" con un 21,7% y los embalses destinados a "*Riego*" con un 12,0%. Por el contrario, los embalses empleados para "*Solo Generación*" exponen un incremento de un 5,6% respecto al año pasado.

En cuanto a los promedios históricos (periodo comprendido entre los años 1991-2020), los embalses presentan una disminución en volumen del 21,6% a la fecha. Al segregar por tipo de embalse en forma decreciente, los embalses de "*Riego*" registran el mayor porcentaje de descenso en su almacenamiento respecto al promedio de un 55,3%, seguidos por los embalses destinados a "*Agua Potable*" de un 25,4% y los embalses de "*Generación y riego*" con un 23,4%. Por el contrario, los embalses destinados a "*Solo Generación*" reflejan un volumen un 0,3% mayor respecto al promedio histórico.

Actualmente el volumen embalsado alcanza el 31,1% de la capacidad total a nivel nacional, lo que corresponde a un 1,9% menos de la capacidad informada el mes pasado. Al realizar el desglose por tipo de embalse en forma decreciente, se observa que los embalses destinados en exclusiva a "*Generación*" muestran la mayor capacidad almacenada, alcanzando el 51,3% de su totalidad, seguidos por los destinados sólo a "*Agua Potable*" con un 48,2%. En menor medida, los embalses "*Mixtos*" (*Generación y Riego*) y solo a "*Riego*" registran un almacenamiento disponible actual del 23,0% y 21,4% respectivamente de su capacidad máxima.

A continuación, se proporciona un cuadro que detalla las variaciones experimentadas por los embalses durante el mes de mayo, clasificados según su uso. Los valores negativos reflejan disminución en el volumen o déficits.

VARIACIÓN DE LOS VOLÚMENES DE EMBALSES PARA MAYO-2026

| Tipo de Embalses | Volumen Actual Mill-m ³ | Porcentaje respecto del Promedio* | Porcentaje Almacenado de su máxima capacidad | Variación Porcentual respecto a: | |
|--------------------|---------------------------------------|-----------------------------------|--|----------------------------------|---------------|
| | | | | Mes Anterior | Año Pasado |
| Solo Riego | 455 | -55,3% | 21,4% | 12,0% | -12,0% |
| Generación y Riego | 1.596 | -23,4% | 23,0% | -5,7% | -32,0% |
| Solo Generación | 1.792 | 0,3% | 51,3% | -9,8% | 5,6% |
| Agua Potable | 169 | -25,4% | 48,2% | -7,2% | -21,7% |
| Total | 4.012 | -21,6% | 31,1% | -6,0% | -16,0% |

(* Promedio correspondiente al período 1991 – 2020)

Aguas Subterráneas.

Las mediciones realizadas durante mayo de 2026 en la región de Arica y Parinacota, acuífero Quebrada de La Concordia, sector La Concordia, muestran que el nivel de aguas subterráneas ascendió 8 centímetros, respecto al mes de abril. En contraste, para el mismo período, el acuífero Río Lluta, en el sector Lluta Bajo, registra un descenso de 14 centímetros. El acuífero Río San José, sector Valle de Azapa, muestra 20 centímetros de recuperación, manteniendo una tendencia al alza del nivel estático durante el año 2026.

En la región de Tarapacá, el acuífero Pampa del Tamarugal, sector Pampa del Tamarugal, presenta 1 centímetro de ascenso en Pozo Almonte, mientras que, en Salar Bellavista, el nivel de agua subterránea descendió 3 centímetros.

Para la región de Antofagasta, el acuífero Río Loa, sector Calama, presenta 2 centímetros de ascenso en Salar Brinkerhoff, mientras que, en el sector Vegas de Turi, se registran 2 centímetros de descenso.

En la región de Atacama, el acuífero Río Copiapó, sector Aguas Arriba de Embalse Lautaro, presenta 30 centímetros de descenso respecto a abril de 2026. Por otro, el sector Piedra Colgada/Angostura registra 43 centímetros de descenso. Durante el mismo período, en el acuífero Huasco, sector Freirina Bajo, se observa 1 centímetro de descenso.

Para la región de Coquimbo, el acuífero Río Los Choros, sector Los Choros Altos, presenta 5 centímetros de descenso, respecto al mes de abril de 2026. Por otro lado, el acuífero Elqui, sector Elqui Alto, presenta 28 centímetros de ascenso durante mayo de 2026. En el mismo período, el acuífero Pan de Azúcar, sector Culebrón, presenta 5 centímetros de descenso. En el acuífero Río Limarí, el sector Río Rapel, muestra un ascenso de 7 centímetros, mientras que los sectores Punitaqui y Río Limarí, presentan descensos de 7 y 2 centímetros, respectivamente. El

acuífero Río Choapa, sector Choapa Medio, muestra 2 centímetros de ascenso entre abril y mayo de 2026.

En la región de Valparaíso, el acuífero Río La Ligua, sector Río La Ligua Costa, presenta 81 centímetros de ascenso en el nivel de agua subterránea. Similar comportamiento se observa en el acuífero Río Aconcagua, sectores Nogales/Hijuelas, donde se registraron 26 centímetros de recuperación. En tanto, durante mayo de 2026, el nivel descendió 73 centímetros en el sector Aconcagua Desembocadura.

En la región Metropolitana, el acuífero Río Maipo, sector Chacabuco Polpaico, presenta 40 centímetros de ascenso, manteniendo la tendencia al alza del nivel registrada desde 2024.

Para la región de O'Higgins, en el acuífero Río Rapel, sectores Doñihue/Coinco/Coltauco y Tinguiririca Superior, se registraron descensos de 8 y 3 centímetros, respectivamente.

En la región del Maule, el acuífero Río Mataquito, sector Teno Lontué presenta 11 centímetros de descenso. Similar comportamiento tuvo el acuífero Río Maule, donde el sector Maule Medio Sur, registra un descenso de 22 centímetros, ambos durante mayo de 2026.

En la región de Ñuble, el acuífero Río Itata, sector Ñuble, presenta 68 centímetros de ascenso entre abril y mayo de 2026.

En mayo de 2026, en la región del Biobío, el acuífero Río Biobío, sector Tavoleo, se registran 16 centímetros de ascenso, mientras que en el sector Biobío Medio, se registran 15 centímetros de descenso.

En la región de La Araucanía, el acuífero Río Imperial, sector Ríos Colpi Quillén, registra 49 centímetros de ascenso, continuando la tendencia a la recuperación del nivel de agua subterránea. Similar comportamiento presenta, el acuífero Río Toltén, sector Toltén Alto, donde se registran 33 centímetros de ascenso durante mayo de 2026.

En la región de Los Ríos, el acuífero Río Valdivia, sector Río Cruces, presenta un ascenso de 12 centímetros en el nivel freático. En el acuífero Río Bueno, sector Bueno Medio, se observan 11 centímetros de recuperación, ambos durante mayo de 2026.

En la región de Los Lagos, el sector Rahue del acuífero Río Bueno, presenta 76 centímetros de descenso. En contraste, el acuífero Costeras Norte X, sector Maullín, tiene una recuperación de 23 centímetros entre los meses de abril y mayo de 2026.

II. RESUMEN DE TABLAS Y GRÁFICOS, POR VARIABLE, ASOCIADAS A LAS ESTACIONES MÁS REPRESENTATIVAS CONTROLADAS

2.1.- PLUVIOMETRÍA

Tabla 2.1.-Totales al 31 de mayo de 2026

| Estaciones | Mayo 2026 | Acumulada a la fecha | | Promedio 1991-2020 [mm] | Exceso o Déficit % |
|----------------|-----------|----------------------|-----------|-------------------------|--------------------|
| | | 2026 [mm] | 2025 [mm] | | |
| Chapiquiña | 0.0 | 156.1 | 304.9 | 142.9 | 9 |
| Emb. Conchi | 0.1 | 11.7 | 14.9 | 18.5 | -37 |
| Calama | 2.3 | 8.3 | 0.8 | 2.6 | 100 |
| Antofagasta | 0.0 | 0.4 | 0.0 | 1.5 | -74 |
| Copiapo | 0.1 | 2.8 | 0.0 | 4.2 | -34 |
| Emb. Lautaro | 0.0 | 4.6 | 0.0 | 15.8 | -71 |
| Vallenar | 0.2 | 6.5 | 1.9 | 9.6 | -33 |
| Rivadavia | 0.2 | 0.2 | 0.0 | 20.2 | -100 |
| Vicuña | 0.1 | 0.4 | 0.0 | 21.2 | -99 |
| La Serena | 0.0 | 1.6 | 0.0 | 16.4 | -91 |
| Ovalle | 1.8 | 1.8 | 0.9 | 20.3 | -92 |
| Emb. Paloma | 0.0 | 0.1 | 0.1 | 25.1 | -100 |
| Cogotí 18 | 0.0 | 0.1 | 0.0 | 37.8 | -100 |
| Huintil | 1.1 | 2.9 | 3.0 | 41.4 | -93 |
| Coirón | 0.0 | 1.3 | 2.9 | 54.7 | -98 |
| Vilcuya | 2.6 | 10.6 | 31.4 | 78.7 | -87 |
| San Felipe | 0.0 | 10.5 | 23.9 | 44.8 | -77 |
| Lago Peñuelas | 13.7 | 24.3 | 44.3 | 128.2 | -82 |
| Emb. El yeso | 7.8 | 103.9 | 90.7 | 145.5 | -29 |
| Cerro Calán | 22.4 | 44.4 | 80.0 | 85.2 | -48 |
| Santiago (MOP) | 4.2 | 21.8 | 58.3 | 68.5 | -69 |
| Rancagua | 6.8 | 33.8 | 105.0 | 91.5 | -64 |
| San Fernando | 6.5 | 107.8 | 137.8 | 145.9 | -27 |
| Convento Viejo | 6.5 | 106.2 | 133.0 | 146.3 | -28 |
| Curicó | 14.5 | 109.5 | 138.0 | 146.6 | -26 |
| Talca | 12.3 | 100.6 | 75.5 | 147.8 | -32 |
| Colorado | 50.3 | 252.0 | 172.1 | 308.2 | -19 |
| Linares | 25.8 | 127.9 | 110.9 | 220.8 | -43 |
| Parral | 35.5 | 214.5 | 208.3 | 247.6 | -14 |
| Emb. Digua | 55.5 | 266.8 | 260.0 | 361.5 | -27 |
| Chillán | 27.4 | 244.1 | 195.3 | 288.3 | -16 |
| Concepción | 43.8 | 176.0 | 213.8 | 284.9 | -39 |
| Los Angeles | 45.0 | 178.4 | 160.5 | 301.0 | -41 |
| Cañete | 46.8 | 269.8 | 247.6 | 347.2 | -23 |
| Angol | 75.8 | 236.9 | 105.1 | 280.0 | -16 |
| Temuco | 39.9 | 324.8 | 358.1 | 352.9 | -8 |
| Valdivia | 126.2 | 662.7 | 654.7 | 582.4 | 13 |
| Osorno | 108.3 | 416.1 | 381.8 | 407.5 | 2 |
| Puerto Montt | 86.1 | 548.0 | 578.2 | 674.5 | -19 |
| Coyhaique | 11.3 | 265.3 | 297.9 | 340.5 | -23 |
| Punta Arenas | 42.6 | 291.6 | 281.6 | 240.9 | 21 |

Promedios acumulados para el período 1991-2020 (D.G.A)
Valores expresados en milímetros (1 mm = 1 lt x m²)

FIGURA 2.1.1

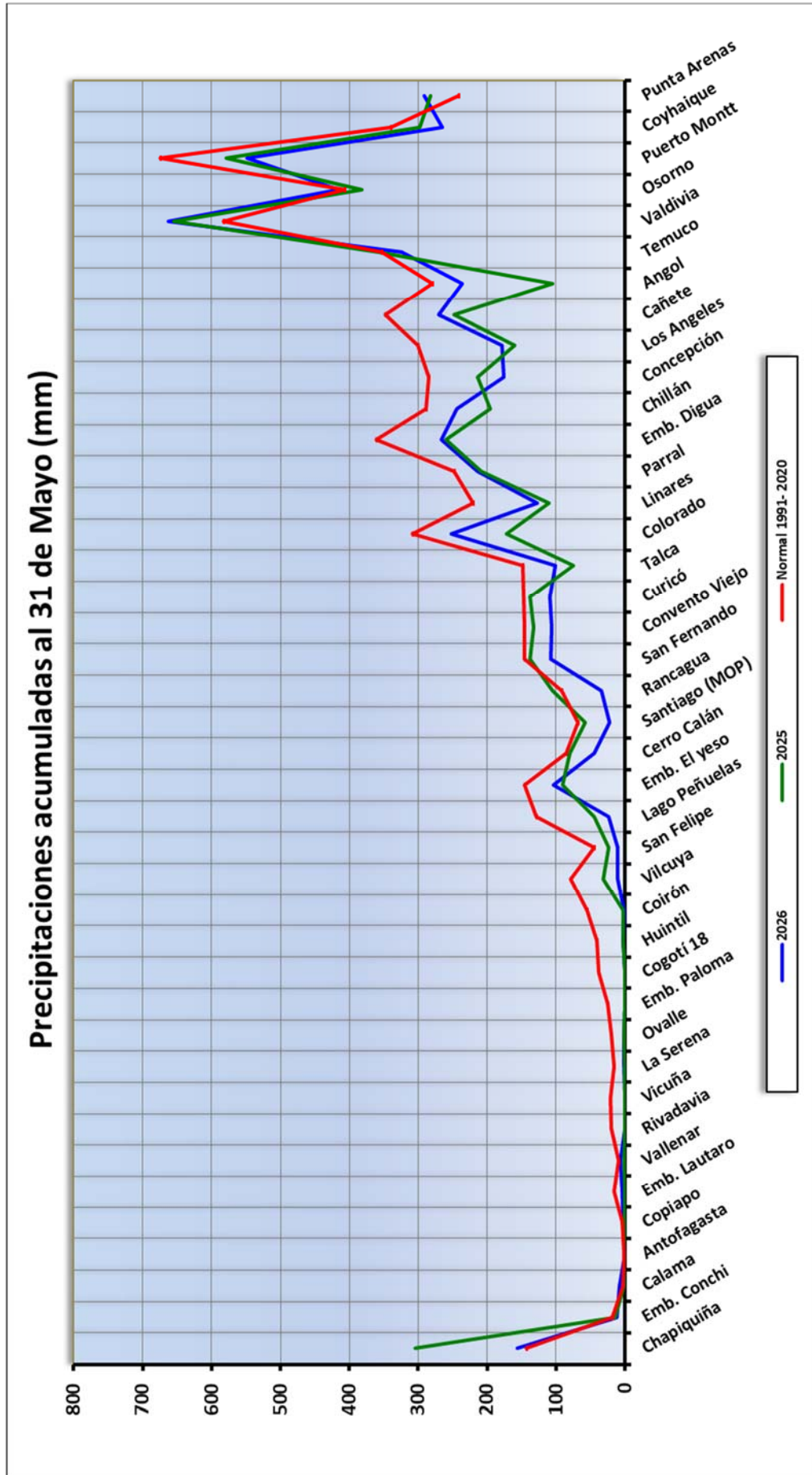


FIGURA 2.1.2

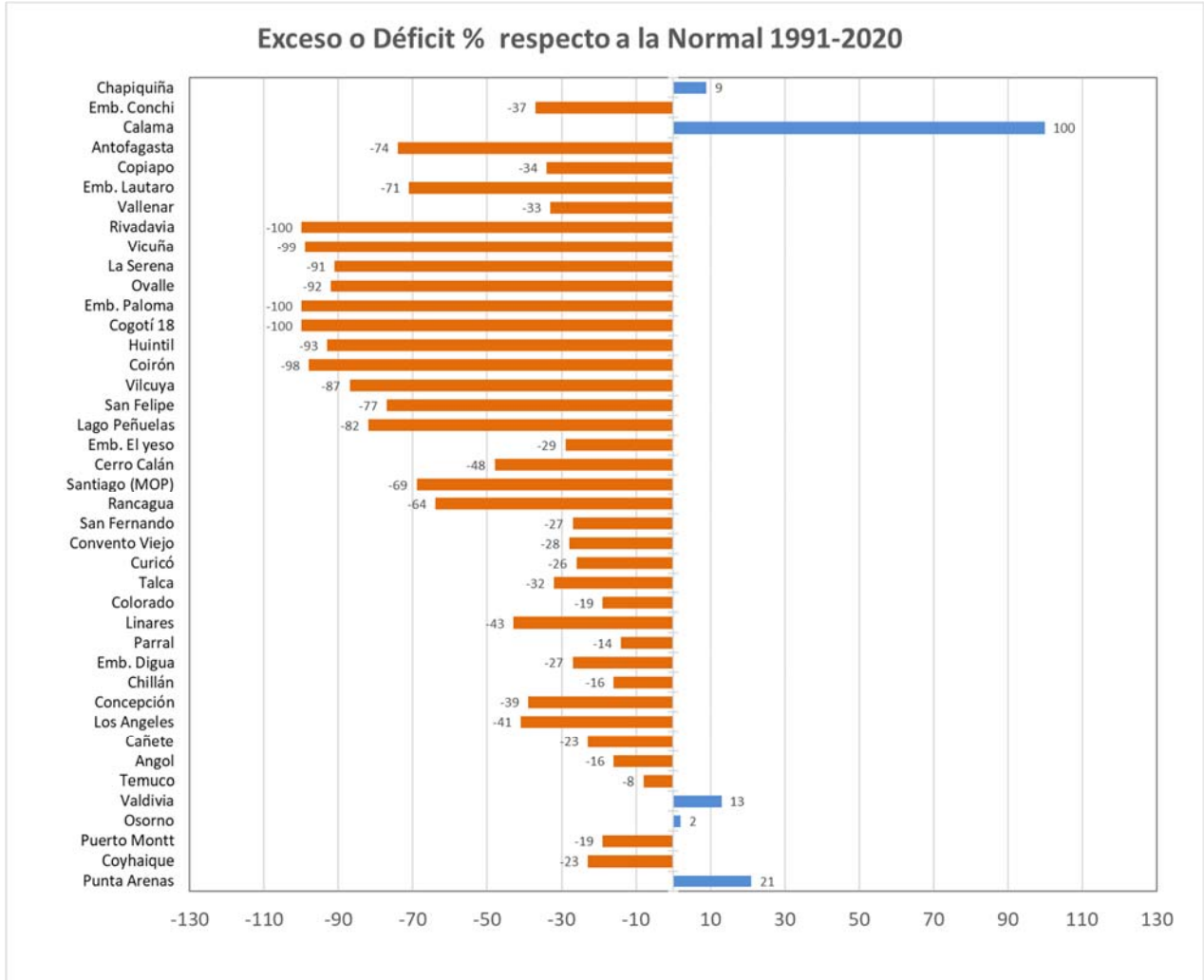
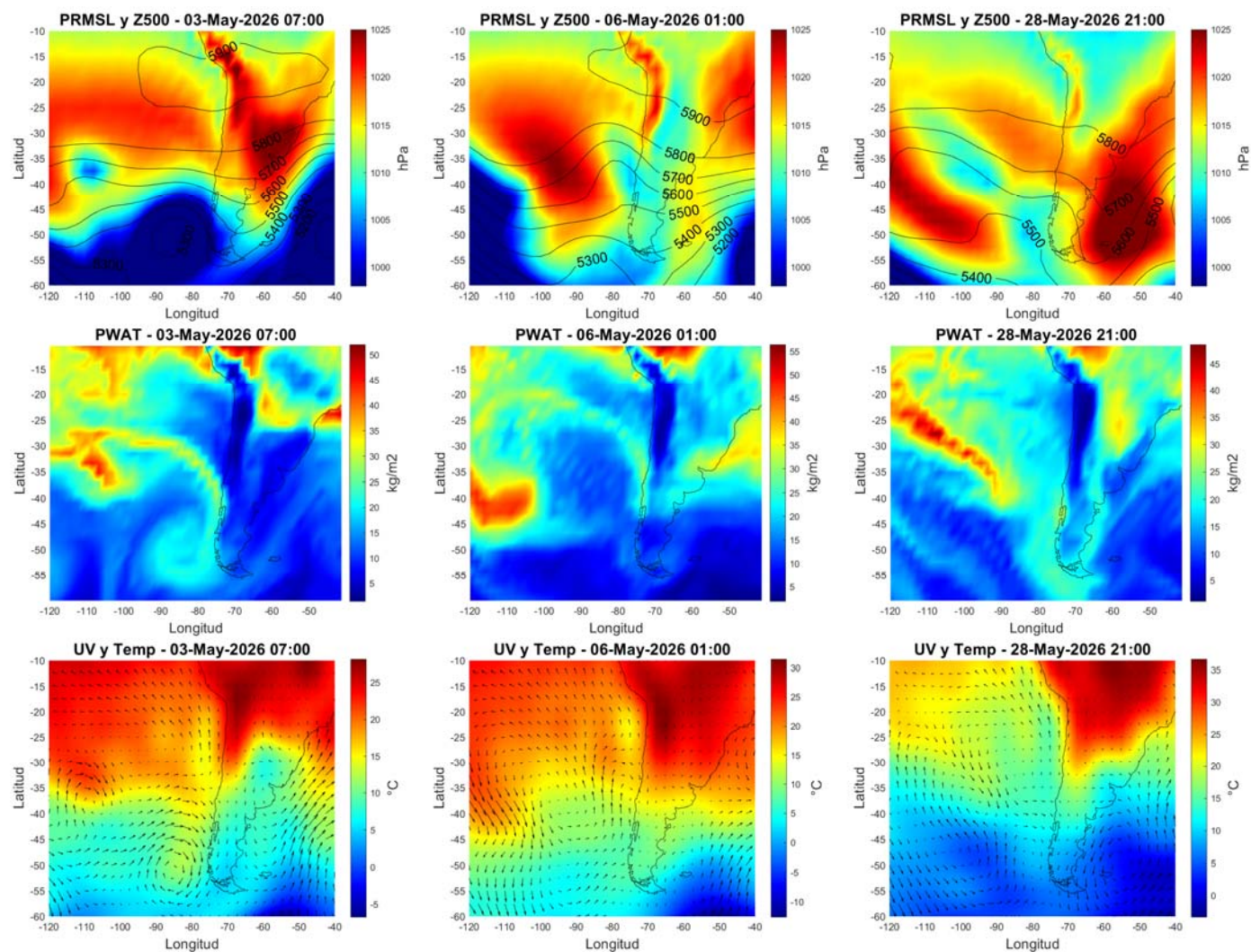
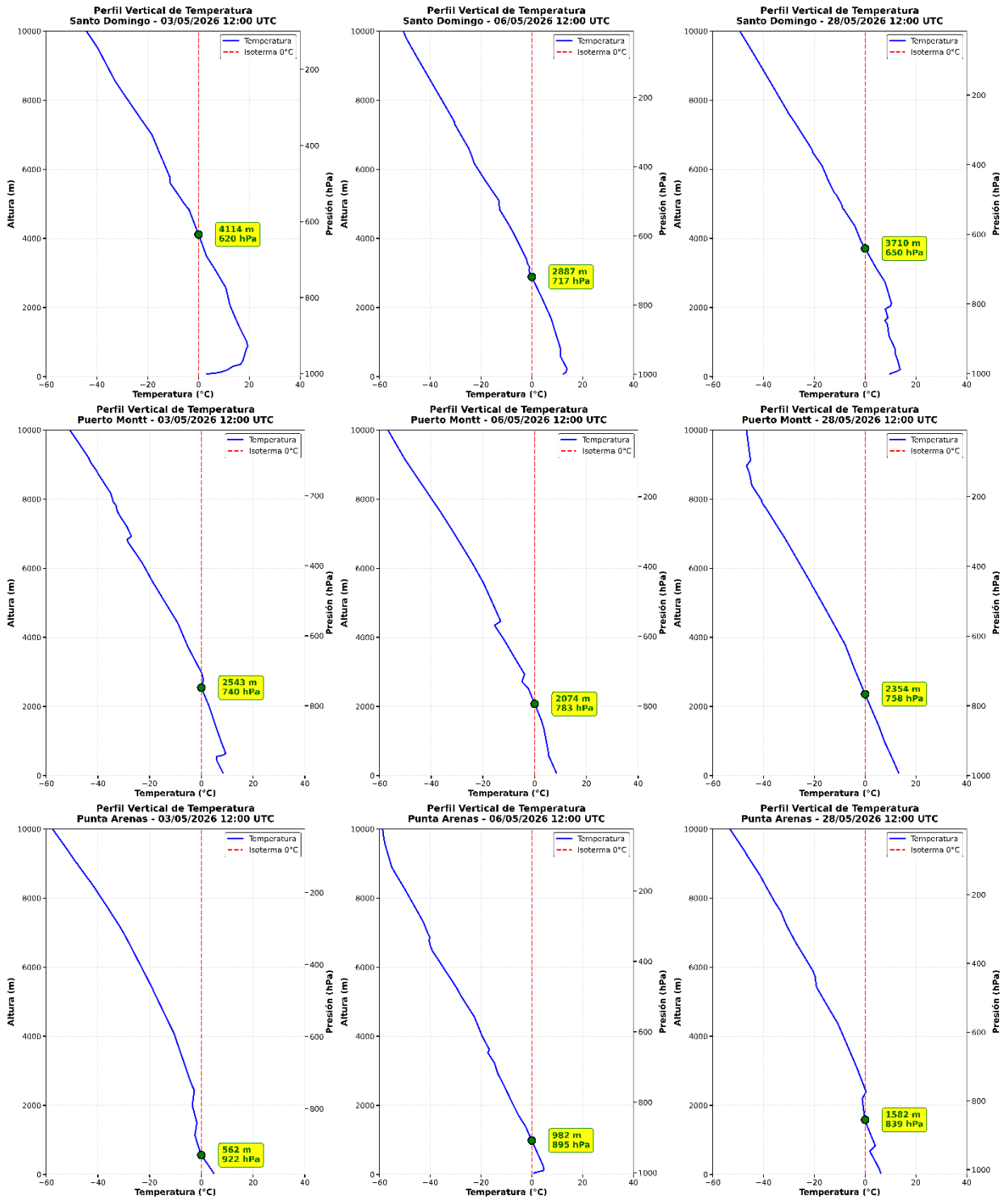


Figura 2.1.3. Cartas Sinópticas



En primera fila se muestran mapas de altura geopotencial a 500 hPa (Z500) en contorno y presión reducida a nivel del mar (PRMSL) en colores, segunda fila agua precipitable (pwat) y tercera fila componentes meridional y zonal del viento (u y v) como vectores y temperatura en superficie (Temp) en colores. Cada columna representa una hora de muestra de un día asociado a un evento de precipitaciones ocurrido durante marzo 2026. Datos obtenidos desde Saha, S., et al. 2011

Figura 2.1.4. Isoterma Cero



2.2.- NIEVES

Tabla 2.2.1

Valores aproximados al 31-mayo 8 hrs

| Región | Cuenca | Ruta | Elevación (m s.n.m.) | Altura de nieve | Promedio | Déficit o | Altura de nieve |
|-----------------|-----------|-------------------------|-------------------------|-----------------|-------------------|----------------|-----------------|
| | | | | 2026 (cm) | 1991-2020 (cm) | superávit % | 2025* (cm) |
| Coquimbo | Elqui | Cerro Olivares | 3566 | 0 | 19 | -100 | 0 |
| | Limarí | Quebrada Larga | 3550 | 0 | 42 | -100 | 0 |
| | Limarí | Cerro Vega Negra | 3529 | 0 | 94 | -100 | 0 |
| | Choapa | El Soldado | 3293 | 0 | 95 | -100 | 9 |
| Valparaíso | Petorca | Nacimiento del Sobrante | 3143 | 0 | 91 | -100 | 0 |
| | Aconcagua | Portillo | 3032 | 0 | 112 | -100 | 28 |
| Metropolitana | Maipo | Laguna Negra | 2785 | 0 | 127 | -100 | 17 |
| Maule | Maule | Lo Aguirre ¹ | 1989 | 0 | 177 | -100 | 29 |
| Ñuble | Itata | Volcán Chillán | 2078 | 0 | 118 | -100 | 15 |
| Biobío | Biobío | Alto Mallines | 1784 | 0 | 119 | -100 | 7 |
| Promedio | | | | 0 | 99 | -100 | 11 |

(*) Valor de temporada misma fecha ¹: Nueva Lo Aguirre

(S/I) Sin información

Figura 2.2.1

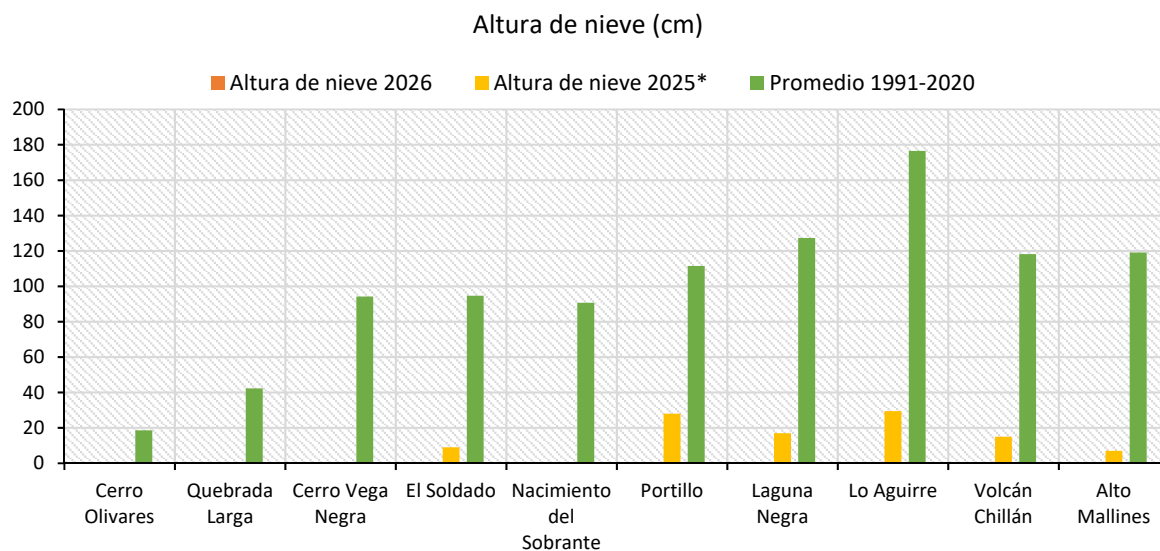


Tabla 2.2.2

Valores aproximados al 31-mayo 8 hrs

Equivalente en agua de la nieve "EAN" (mm)

| Región | Cuenca | Ruta | Elevación | EAN 2026 | Promedio 1991-2020 | Déficit o superávit | EAN 2025* |
|-----------------|-----------|--------------------------------------|------------|----------|--------------------|---------------------|-----------|
| | | | (m s.n.m.) | (mm) | (mm) | % | (mm) |
| Coquimbo | Elqui | Cerro Olivares | 3566 | 0 | 66 | -100 | 0 |
| | Limarí | Quebrada Larga | 3550 | 0 | 154 | -100 | 0 |
| | Limarí | Cerro Vega Negra | 3529 | 0 | 381 | -100 | 0 |
| | Choapa | El Soldado ² | 3293 | 0 | 298 | -100 | 18 |
| Valparaíso | Petorca | Nacimiento del Sobrante ² | 3143 | 0 | 295 | -100 | 0 |
| | Aconcagua | Portillo ² | 3032 | 0 | 450 | -100 | 56 |
| Metropolitana | Maipo | Laguna Negra | 2785 | 0 | 477 | -100 | 32 |
| Maule | Maule | Lo Aguirre ¹² | 1989 | 0 | 720 | -100 | 59 |
| Ñuble | Itata | Volcán Chillán ² | 2078 | 0 | 535 | -100 | 30 |
| Biobío | Biobío | Alto Mallines ² | 1784 | 0 | 524 | -100 | 14 |
| Promedio | | | | 0 | 390 | -100 | 21 |

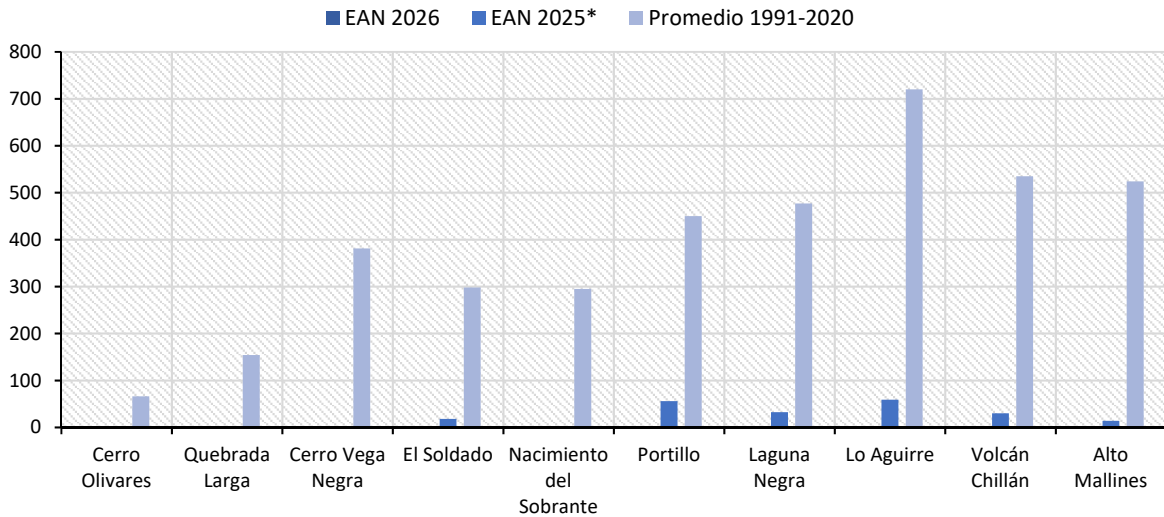
(*) Valor de temporada misma fecha ¹: Nueva Lo Aguirre

²: EAN 2025 estimado con densidad de 200 kg/m³

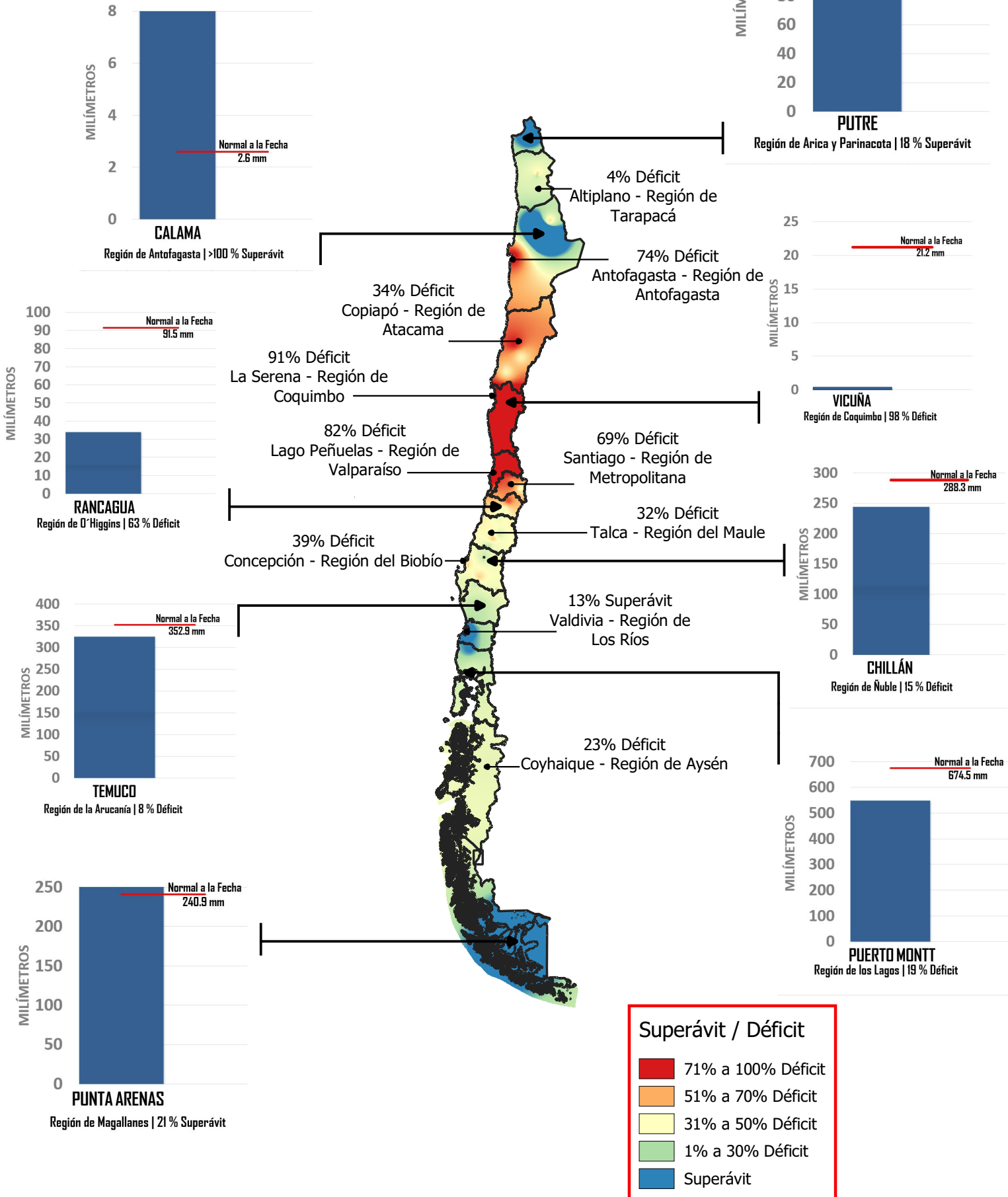
(S/I) Sin información

Figura 2.2.2

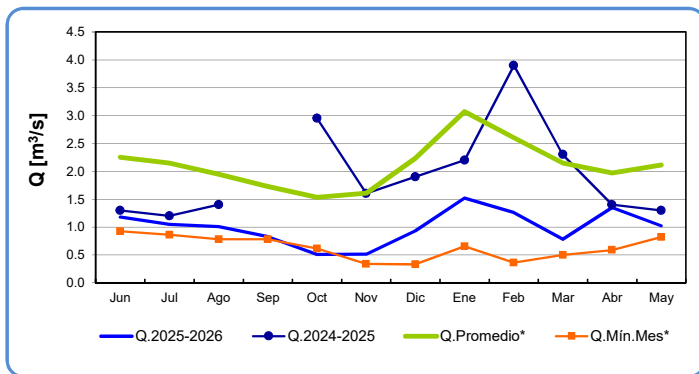
Equivalente en agua de la nieve (mm)



Precipitaciones acumuladas a mayo de 2026, en comparación con el promedio histórico para el mismo mes entre los años 1991-2020

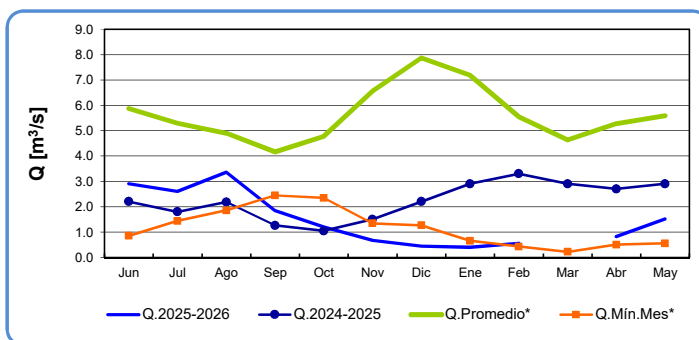


Río Copiapó en Pastillo



| | Jun | Jul | Ago | Sep | Oct | Nov | Dic | Ene | Feb | Mar | Abr | May |
|--------------------|-----|-----|-----|-----|-----|-----|-----|-----|-----|-----|-----|-----|
| Q.2025-2026 | 1.2 | 1.0 | 1.0 | 0.8 | 0.5 | 0.5 | 0.9 | 1.5 | 1.3 | 0.8 | 1.4 | 1.0 |
| Q.2024-2025 | 1.3 | 1.2 | 1.4 | | 3.0 | 1.6 | 1.9 | 2.2 | 3.9 | 2.3 | 1.4 | 1.3 |
| Q.Promedio* | 2.3 | 2.1 | 1.9 | 1.7 | 1.5 | 1.6 | 2.2 | 3.1 | 2.6 | 2.1 | 2.0 | 2.1 |
| Q.Min.Mes* | 0.9 | 0.9 | 0.8 | 0.8 | 0.6 | 0.3 | 0.3 | 0.7 | 0.4 | 0.5 | 0.6 | 0.8 |

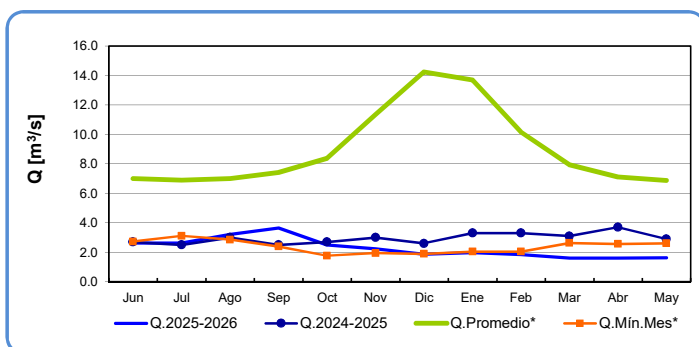
Río Huasco en El Maitén



| | Jun | Jul | Ago | Sep | Oct | Nov | Dic | Ene | Feb | Mar | Abr | May |
|--------------------|-----|-----|-----|-----|-----|-----|-----|-----|-----|-----|-----|-----|
| Q.2025-2026 | 2.9 | 2.6 | 3.4 | 1.9 | 1.2 | 0.7 | 0.4 | 0.4 | 0.6 | (*) | 0.8 | 1.5 |
| Q.2024-2025 | 2.2 | 1.8 | 2.2 | 1.3 | 1.1 | 1.5 | 2.2 | 2.9 | 3.3 | 2.9 | 2.7 | 2.9 |
| Q.Promedio* | 5.9 | 5.3 | 4.9 | 4.2 | 4.8 | 6.6 | 7.9 | 7.2 | 5.5 | 4.6 | 5.3 | 5.6 |
| Q.Min.Mes* | 0.9 | 1.4 | 1.9 | 2.4 | 2.3 | 1.3 | 1.3 | 0.7 | 0.4 | 0.2 | 0.5 | 0.6 |

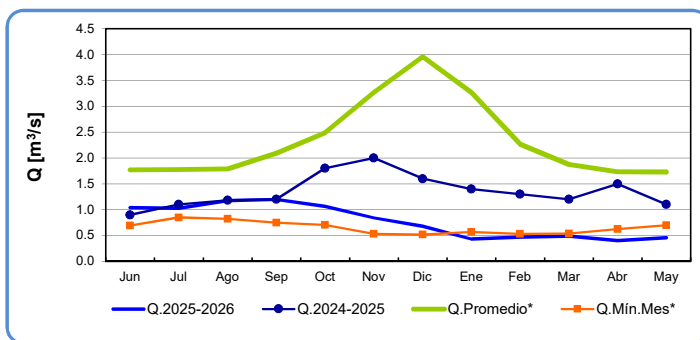
(*) Limpieza de cauce

Río Elqui en Algarrobal



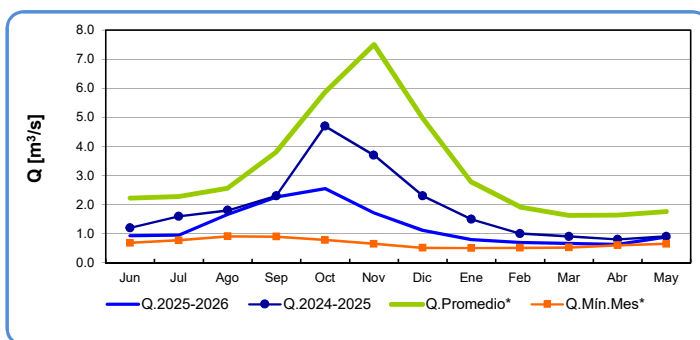
| | Jun | Jul | Ago | Sep | Oct | Nov | Dic | Ene | Feb | Mar | Abr | May |
|--------------------|-----|-----|-----|-----|-----|------|------|------|------|-----|-----|-----|
| Q.2025-2026 | 2.6 | 2.6 | 3.2 | 3.6 | 2.5 | 2.2 | 1.9 | 2.0 | 1.8 | 1.6 | 1.6 | 1.6 |
| Q.2024-2025 | 2.7 | 2.5 | 3.0 | 2.5 | 2.7 | 3.0 | 2.6 | 3.3 | 3.3 | 3.1 | 3.7 | 2.9 |
| Q.Promedio* | 7.0 | 6.9 | 7.0 | 7.4 | 8.4 | 11.3 | 14.2 | 13.7 | 10.2 | 7.9 | 7.1 | 6.9 |
| Q.Min.Mes* | 2.7 | 3.1 | 2.9 | 2.4 | 1.8 | 2.0 | 1.9 | 2.1 | 2.1 | 2.6 | 2.6 | 2.6 |

Río Hurtado en San Agustín



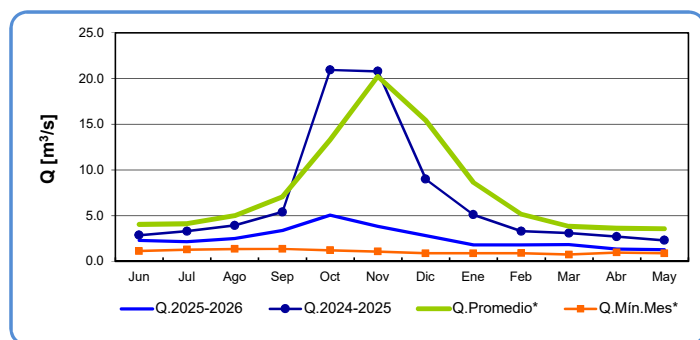
| | Jun | Jul | Ago | Sep | Oct | Nov | Dic | Ene | Feb | Mar | Abr | May |
|--------------------|-----|-----|-----|-----|-----|-----|-----|-----|-----|-----|-----|-----|
| Q.2025-2026 | 1.0 | 1.0 | 1.2 | 1.2 | 1.1 | 0.8 | 0.7 | 0.4 | 0.5 | 0.5 | 0.4 | 0.5 |
| Q.2024-2025 | 0.9 | 1.1 | 1.2 | 1.2 | 1.8 | 2.0 | 1.6 | 1.4 | 1.3 | 1.2 | 1.5 | 1.1 |
| Q.Promedio* | 1.8 | 1.8 | 1.8 | 2.1 | 2.5 | 3.3 | 4.0 | 3.3 | 2.3 | 1.9 | 1.7 | 1.7 |
| Q.Min.Mes* | 0.7 | 0.8 | 0.8 | 0.8 | 0.7 | 0.5 | 0.5 | 0.6 | 0.5 | 0.5 | 0.6 | 0.7 |

Río Grande en Las Ramadas



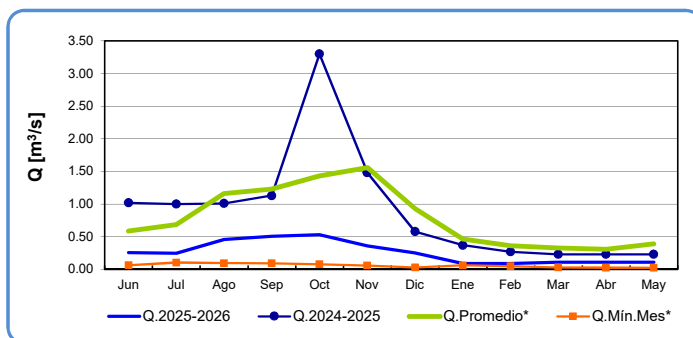
| | Jun | Jul | Ago | Sep | Oct | Nov | Dic | Ene | Feb | Mar | Abr | May |
|--------------------|-----|-----|-----|-----|-----|-----|-----|-----|-----|-----|-----|-----|
| Q.2025-2026 | 0.9 | 1.0 | 1.7 | 2.3 | 2.5 | 1.7 | 1.1 | 0.8 | 0.7 | 0.7 | 0.6 | 0.9 |
| Q.2024-2025 | 1.2 | 1.6 | 1.8 | 2.3 | 4.7 | 3.7 | 2.3 | 1.5 | 1.0 | 0.9 | 0.8 | 0.9 |
| Q.Promedio* | 2.2 | 2.3 | 2.6 | 3.8 | 5.9 | 7.5 | 5.0 | 2.8 | 1.9 | 1.6 | 1.6 | 1.8 |
| Q.Min.Mes* | 0.7 | 0.8 | 0.9 | 0.9 | 0.8 | 0.6 | 0.5 | 0.5 | 0.5 | 0.5 | 0.6 | 0.7 |

Río Choapa en Cuncumén



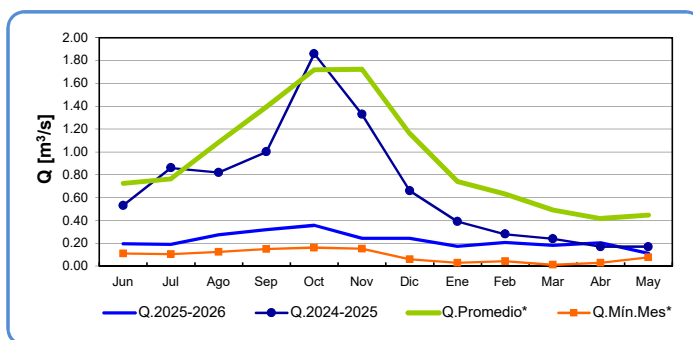
| | Jun | Jul | Ago | Sep | Oct | Nov | Dic | Ene | Feb | Mar | Abr | May |
|--------------------|-----|-----|-----|-----|------|------|------|-----|-----|-----|-----|-----|
| Q.2025-2026 | 2.3 | 2.2 | 2.5 | 3.4 | 5.1 | 3.8 | 2.8 | 1.8 | 1.8 | 1.8 | 1.4 | 1.3 |
| Q.2024-2025 | 2.9 | 3.3 | 3.9 | 5.4 | 20.9 | 20.8 | 9.0 | 5.1 | 3.3 | 3.1 | 2.7 | 2.3 |
| Q.Promedio* | 4.0 | 4.1 | 5.0 | 7.1 | 13.3 | 20.2 | 15.4 | 8.6 | 5.2 | 3.8 | 3.6 | 3.6 |
| Q.Min.Mes* | 1.1 | 1.3 | 1.4 | 1.4 | 1.2 | 1.1 | 0.9 | 0.9 | 0.9 | 0.8 | 1.0 | 0.9 |

Río Sobrante en Piñadero



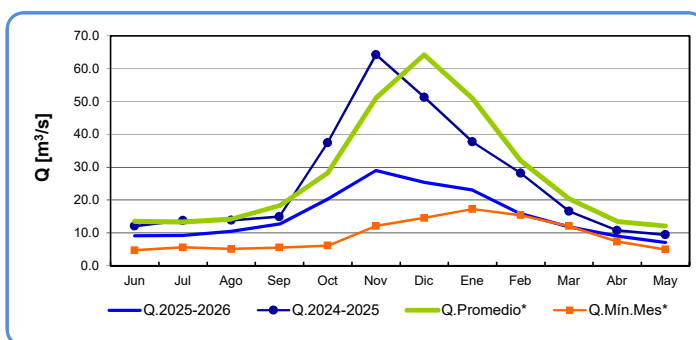
| | Jun | Jul | Ago | Sep | Oct | Nov | Dic | Ene | Feb | Mar | Abr | May |
|--------------------|------|------|------|------|------|------|------|------|------|------|------|------|
| Q.2025-2026 | 0.26 | 0.25 | 0.46 | 0.51 | 0.53 | 0.36 | 0.25 | 0.09 | 0.09 | 0.11 | 0.11 | 0.11 |
| Q.2024-2025 | 1.02 | 1.00 | 1.01 | 1.13 | 3.30 | 1.48 | 0.58 | 0.37 | 0.27 | 0.23 | 0.23 | 0.23 |
| Q.Promedio* | 0.59 | 0.68 | 1.16 | 1.23 | 1.43 | 1.56 | 0.93 | 0.47 | 0.36 | 0.33 | 0.31 | 0.39 |
| Q.Min.Mes* | 0.06 | 0.11 | 0.10 | 0.09 | 0.08 | 0.06 | 0.03 | 0.06 | 0.05 | 0.03 | 0.03 | 0.03 |

Río Alicahue en Colliguay



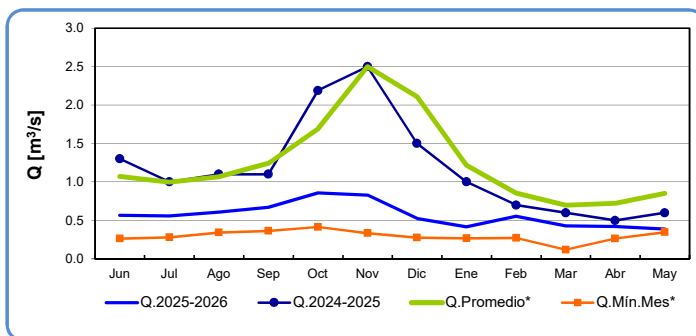
| | Jun | Jul | Ago | Sep | Oct | Nov | Dic | Ene | Feb | Mar | Abr | May |
|--------------------|------|------|------|------|------|------|------|------|------|------|------|------|
| Q.2025-2026 | 0.19 | 0.19 | 0.27 | 0.32 | 0.36 | 0.24 | 0.24 | 0.17 | 0.21 | 0.18 | 0.20 | 0.11 |
| Q.2024-2025 | 0.53 | 0.86 | 0.82 | 1.00 | 1.86 | 1.33 | 0.66 | 0.39 | 0.28 | 0.24 | 0.17 | 0.17 |
| Q.Promedio* | 0.72 | 0.76 | 1.08 | 1.39 | 1.72 | 1.72 | 1.16 | 0.74 | 0.63 | 0.49 | 0.42 | 0.45 |
| Q.Min.Mes* | 0.11 | 0.11 | 0.12 | 0.15 | 0.16 | 0.15 | 0.06 | 0.03 | 0.04 | 0.01 | 0.03 | 0.08 |

Río Aconcagua en Chacabuquito



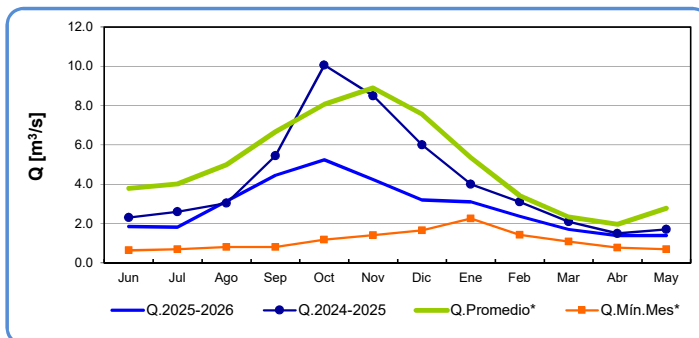
| | Jun | Jul | Ago | Sep | Oct | Nov | Dic | Ene | Feb | Mar | Abr | May |
|--------------------|------|------|------|------|------|------|------|------|------|------|------|------|
| Q.2025-2026 | 9.1 | 9.2 | 10.5 | 12.7 | 20.3 | 29.0 | 25.4 | 23.0 | 15.8 | 11.9 | 8.9 | 7.1 |
| Q.2024-2025 | 12.0 | 13.8 | 13.8 | 14.9 | 37.4 | 64.3 | 51.3 | 37.7 | 28.2 | 16.6 | 10.7 | 9.4 |
| Q.Promedio* | 13.4 | 13.2 | 14.1 | 18.3 | 28.2 | 51.0 | 64.2 | 50.9 | 32.0 | 20.3 | 13.5 | 12.1 |
| Q.Min.Mes* | 4.7 | 5.5 | 5.1 | 5.5 | 6.1 | 12.1 | 14.5 | 17.3 | 15.4 | 12.1 | 7.3 | 4.9 |

Estero Arrayán en la Montosa



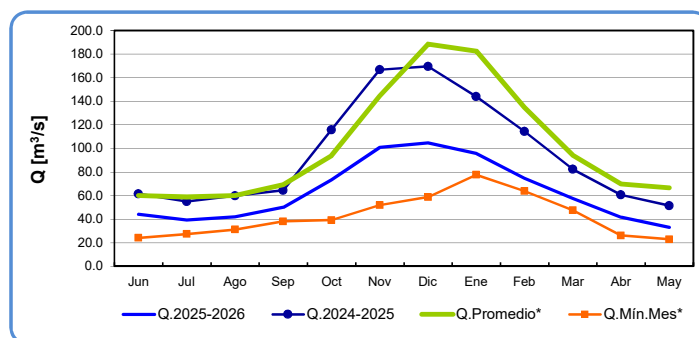
| | Jun | Jul | Ago | Sep | Oct | Nov | Dic | Ene | Feb | Mar | Abr | May |
|--------------------|-----|-----|-----|-----|-----|-----|-----|-----|-----|-----|-----|-----|
| Q.2025-2026 | 0.6 | 0.6 | 0.6 | 0.7 | 0.9 | 0.8 | 0.5 | 0.4 | 0.6 | 0.4 | 0.4 | 0.4 |
| Q.2024-2025 | 1.3 | 1.0 | 1.1 | 1.1 | 2.2 | 2.5 | 1.5 | 1.0 | 0.7 | 0.6 | 0.5 | 0.6 |
| Q.Promedio* | 1.1 | 1.0 | 1.1 | 1.2 | 1.7 | 2.5 | 2.1 | 1.2 | 0.9 | 0.7 | 0.7 | 0.9 |
| Q.Min.Mes* | 0.3 | 0.3 | 0.3 | 0.4 | 0.4 | 0.3 | 0.3 | 0.3 | 0.3 | 0.1 | 0.3 | 0.3 |

Río Mapocho en Los Almendros



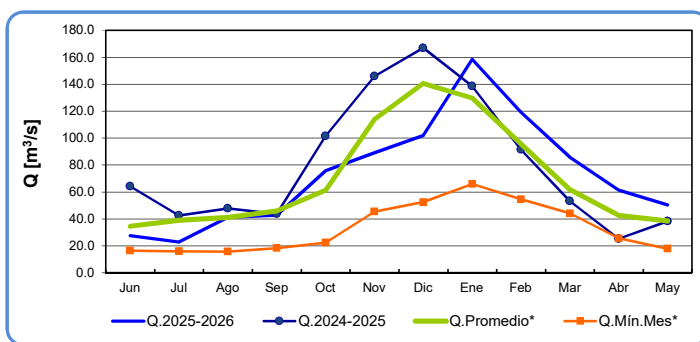
| | Jun | Jul | Ago | Sep | Oct | Nov | Dic | Ene | Feb | Mar | Abr | May |
|--------------------|-----|-----|-----|-----|------|-----|-----|-----|-----|-----|-----|-----|
| Q.2025-2026 | 1.9 | 1.8 | 3.1 | 4.5 | 5.2 | 4.2 | 3.2 | 3.1 | 2.4 | 1.7 | 1.4 | 1.4 |
| Q.2024-2025 | 2.3 | 2.6 | 3.0 | 5.5 | 10.1 | 8.5 | 6.0 | 4.0 | 3.1 | 2.1 | 1.5 | 1.7 |
| Q.Promedio* | 3.8 | 4.0 | 5.0 | 6.7 | 8.1 | 8.9 | 7.6 | 5.3 | 3.4 | 2.3 | 2.0 | 2.8 |
| Q.Min.Mes* | 0.6 | 0.7 | 0.8 | 0.8 | 1.2 | 1.4 | 1.7 | 2.3 | 1.4 | 1.1 | 0.8 | 0.7 |

Río Maipo en El Manzano



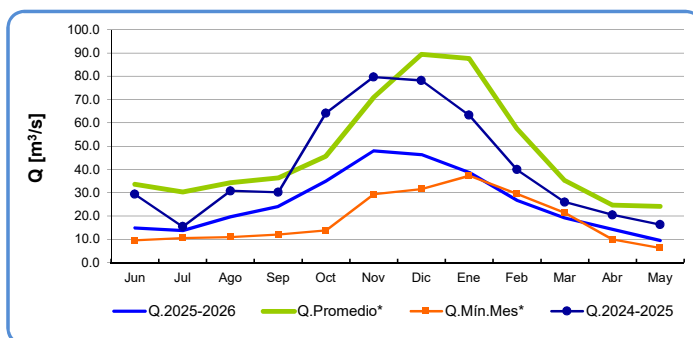
| | Jun | Jul | Ago | Sep | Oct | Nov | Dic | Ene | Feb | Mar | Abr | May |
|--------------------|------|------|------|------|-------|-------|-------|-------|-------|------|------|------|
| Q.2025-2026 | 44.1 | 39.1 | 42.0 | 50.0 | 73.4 | 100.7 | 104.7 | 95.6 | 74.9 | 57.6 | 41.7 | 33.1 |
| Q.2024-2025 | 61.4 | 54.9 | 59.9 | 64.5 | 115.7 | 166.8 | 169.6 | 144.0 | 114.5 | 82.3 | 60.7 | 51.5 |
| Q.Promedio* | 60.2 | 58.9 | 60.2 | 69.4 | 93.8 | 144.5 | 188.5 | 182.5 | 134.7 | 94.4 | 69.9 | 66.7 |
| Q.Min.Mes* | 24.1 | 27.4 | 31.2 | 38.2 | 39.3 | 51.9 | 58.7 | 77.6 | 63.8 | 47.6 | 26.2 | 23.0 |

Río Cachapoal en Puente Termas (Reg.Nat.)



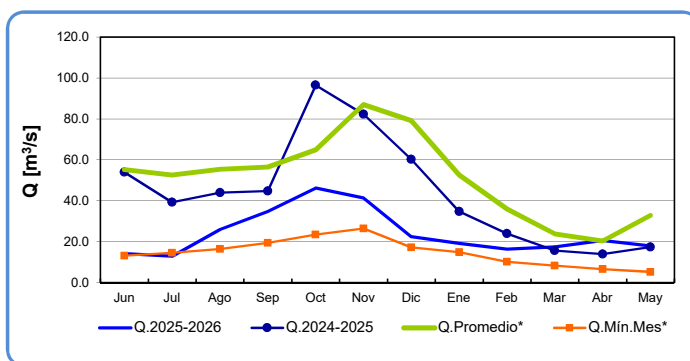
| | Jun | Jul | Ago | Sep | Oct | Nov | Dic | Ene | Feb | Mar | Abr | May |
|--------------------|------|------|------|------|-------|-------|-------|-------|-------|------|------|------|
| Q.2025-2026 | 27.6 | 22.9 | 41.1 | 42.8 | 75.8 | 89.2 | 101.9 | 158.6 | 119.4 | 85.7 | 61.4 | 50.3 |
| Q.2024-2025 | 64.1 | 42.6 | 47.8 | 43.7 | 101.4 | 146.0 | 167.0 | 138.7 | 91.4 | 53.3 | 25.2 | 38.2 |
| Q.Promedio* | 34.5 | 38.9 | 41.1 | 45.8 | 61.2 | 114.1 | 140.7 | 129.8 | 95.8 | 61.8 | 42.5 | 38.4 |
| Q.Min.Mes* | 16.4 | 16.0 | 15.7 | 18.3 | 22.4 | 45.4 | 52.4 | 65.9 | 54.6 | 44.2 | 25.7 | 17.8 |

Río Tinguiririca bajo Los Briones



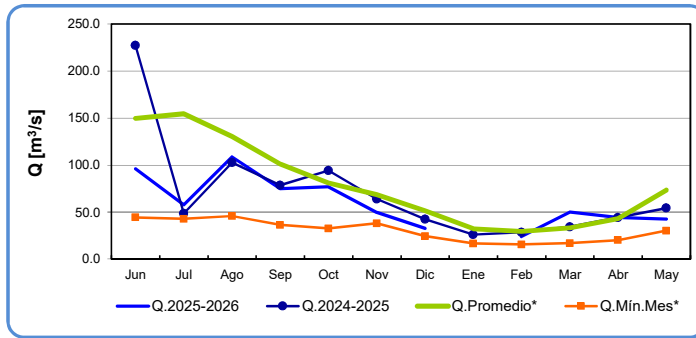
| | Jun | Jul | Ago | Sep | Oct | Nov | Dic | Ene | Feb | Mar | Abr | May |
|--------------------|------|------|------|------|------|------|------|------|------|------|------|------|
| Q.2025-2026 | 14.9 | 13.8 | 19.8 | 24.2 | 35.0 | 48.0 | 46.4 | 38.7 | 26.8 | 19.2 | 14.3 | 9.5 |
| Q.2024-2025 | 29.4 | 15.5 | 30.8 | 30.2 | 64.2 | 79.7 | 78.2 | 63.3 | 39.9 | 26.0 | 20.5 | 16.3 |
| Q.Promedio* | 33.6 | 30.3 | 34.3 | 36.3 | 45.7 | 70.8 | 89.5 | 87.6 | 57.5 | 35.2 | 24.6 | 24.2 |
| Q.Min.Mes* | 9.6 | 10.5 | 11.0 | 12.1 | 13.8 | 29.3 | 31.6 | 37.3 | 29.5 | 21.4 | 10.0 | 6.3 |

Río Teno despues de Junta con Claro



| | Jun | Jul | Ago | Sep | Oct | Nov | Dic | Ene | Feb | Mar | Abr | May |
|--------------------|------|------|------|------|------|------|------|------|------|------|------|------|
| Q.2025-2026 | 14.1 | 12.9 | 26.0 | 34.7 | 46.2 | 41.4 | 22.4 | 19.1 | 16.3 | 17.4 | 20.5 | 17.8 |
| Q.2024-2025 | 53.9 | 39.2 | 44.0 | 44.7 | 96.4 | 82.2 | 60.2 | 34.7 | 24.0 | 15.6 | 13.9 | 17.4 |
| Q.Promedio* | 55.2 | 52.6 | 55.4 | 56.5 | 64.8 | 87.0 | 79.2 | 52.5 | 36.1 | 23.8 | 20.4 | 32.9 |
| Q.Min.Mes* | 13.2 | 14.5 | 16.4 | 19.4 | 23.5 | 26.4 | 17.2 | 14.9 | 10.1 | 8.3 | 6.6 | 5.2 |

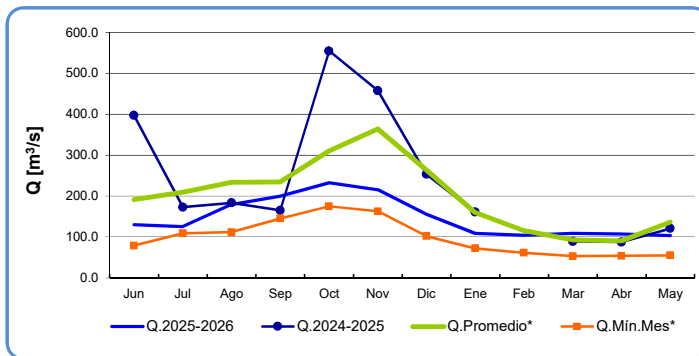
Río Claro en Rauquén



| | Jun | Jul | Ago | Sep | Oct | Nov | Dic | Ene | Feb | Mar | Abr | May |
|--------------------|-------|-------|-------|-------|------|------|------|------|------|------|------|------|
| Q.2025-2026 | 96.0 | 57.7 | 108.7 | 74.8 | 77.0 | 49.5 | 32.6 | (*) | 23.8 | 49.8 | 44.3 | 42.4 |
| Q.2024-2025 | 227.4 | 48.6 | 102.8 | 78.5 | 94.1 | 63.9 | 42.5 | 26.0 | 28.4 | 34.3 | 44.1 | 54.2 |
| Q.Promedio* | 149.7 | 154.5 | 130.5 | 101.1 | 81.1 | 68.6 | 51.2 | 32.4 | 29.5 | 33.2 | 43.1 | 73.6 |
| Q.Min.Mes* | 44.3 | 42.8 | 45.7 | 36.3 | 32.6 | 38.0 | 24.5 | 16.6 | 15.5 | 16.9 | 20.1 | 30.2 |

(*) Falla de sensor

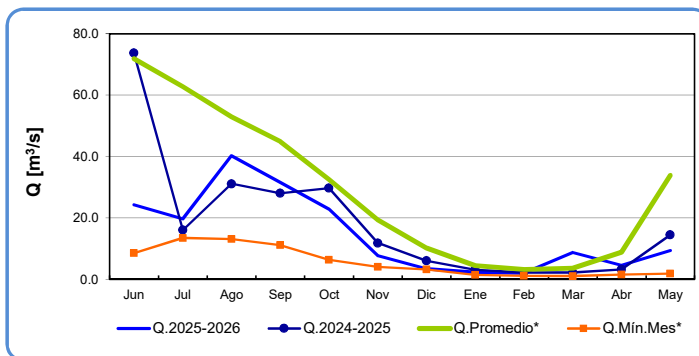
Río Maule en Armerillo (Reg.Nat.)



| | Jun | Jul | Ago | Sep | Oct | Nov | Dic | Ene | Feb | Mar | Abr | May |
|--------------------|-------|-------|-------|-------|-------|-------|-------|-------|-------|-------|-------|-------|
| Q.2025-2026 | 130.4 | 125.2 | 179.4 | 199.8 | 232.2 | 215.6 | 154.8 | 108.8 | 104.3 | 109.0 | 107.8 | 103.4 |
| Q.2024-2025 | 397.4 | 173.0 | 183.3 | 165.1 | 554.7 | 457.7 | 253.0 | 161.0 | (*) | 89.2 | 87.4 | 121.0 |
| Q.Promedio* | 191.1 | 209.5 | 233.0 | 233.9 | 310.2 | 363.7 | 264.2 | 159.6 | 115.3 | 92.7 | 90.5 | 136.3 |
| Q.Min.Mes* | 79.0 | 109.3 | 112.0 | 145.0 | 174.9 | 162.7 | 102.1 | 72.3 | 61.4 | 53.2 | 54.1 | 55.3 |

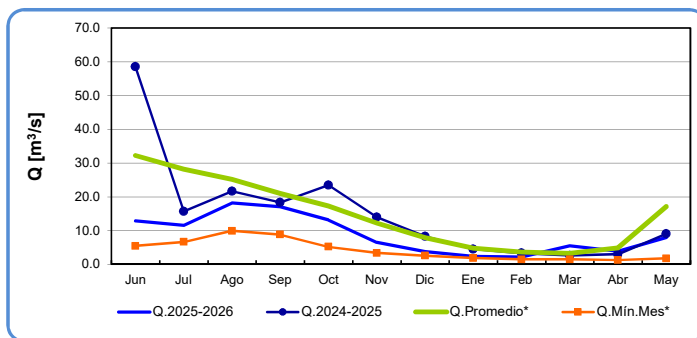
(*) Cauce desviado por obras de mantención

Río Perquillauquén en San Manuel



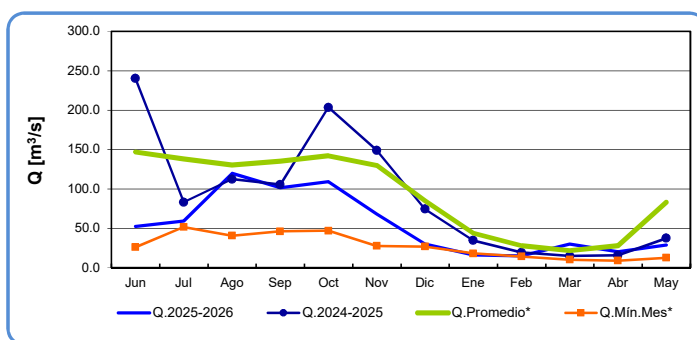
| | Jun | Jul | Ago | Sep | Oct | Nov | Dic | Ene | Feb | Mar | Abr | May |
|--------------------|------|------|------|------|------|------|------|-----|-----|-----|-----|------|
| Q.2025-2026 | 24.2 | 19.6 | 40.2 | 31.5 | 22.8 | 7.7 | 3.4 | 2.2 | 2.1 | 8.8 | 4.5 | 9.3 |
| Q.2024-2025 | 73.7 | 16.0 | 31.1 | 28.0 | 29.7 | 11.8 | 6.0 | 3.1 | 2.2 | 2.2 | 3.2 | 14.5 |
| Q.Promedio* | 71.9 | 62.7 | 52.9 | 45.0 | 32.5 | 19.4 | 10.1 | 4.5 | 3.2 | 3.6 | 8.9 | 33.8 |
| Q.Min.Mes* | 8.5 | 13.5 | 13.1 | 11.1 | 6.3 | 4.1 | 3.2 | 1.5 | 1.2 | 1.0 | 1.5 | 1.8 |

Río Diguillín en San Lorenzo (Atacalco)



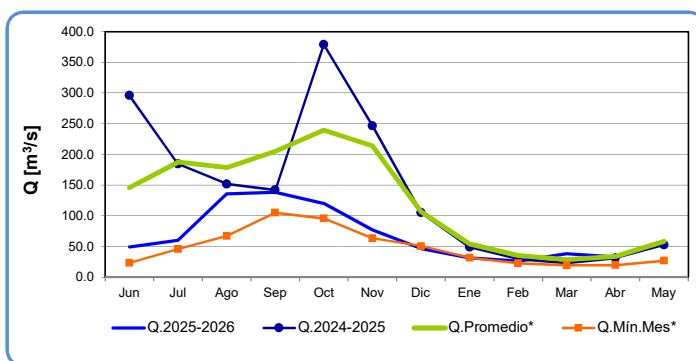
| | Jun | Jul | Ago | Sep | Oct | Nov | Dic | Ene | Feb | Mar | Abr | May |
|--------------------|------|------|------|------|------|------|-----|-----|-----|-----|-----|------|
| Q.2025-2026 | 12.9 | 11.5 | 18.2 | 17.0 | 13.1 | 6.5 | 3.7 | 2.3 | 2.1 | 5.5 | 3.8 | 7.9 |
| Q.2024-2025 | 58.5 | 15.6 | 21.7 | 18.3 | 23.4 | 14.0 | 8.3 | 4.5 | 3.3 | 2.6 | 3.0 | 9.0 |
| Q.Promedio* | 32.2 | 28.2 | 25.2 | 21.0 | 17.3 | 12.2 | 7.9 | 4.8 | 3.7 | 3.2 | 4.9 | 17.1 |
| Q.Min.Mes* | 5.4 | 6.6 | 9.9 | 8.8 | 5.2 | 3.3 | 2.5 | 1.9 | 1.4 | 1.5 | 1.2 | 1.7 |

Río Ñuble en San Fabián



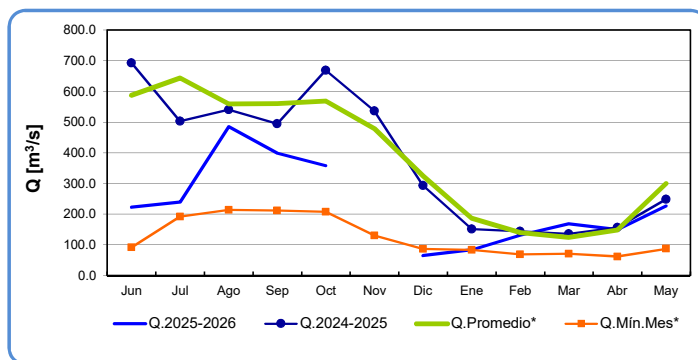
| | Jun | Jul | Ago | Sep | Oct | Nov | Dic | Ene | Feb | Mar | Abr | May |
|--------------------|-------|-------|-------|-------|-------|-------|------|------|------|------|------|------|
| Q.2025-2026 | 52.2 | 59.1 | 119.7 | 101.6 | 109.1 | 68.1 | 29.9 | 16.3 | 14.9 | 29.8 | 20.2 | 28.9 |
| Q.2024-2025 | 240.4 | 83.1 | 112.4 | 105.5 | 203.5 | 148.9 | 74.4 | 34.6 | 19.2 | 14.9 | 15.7 | 37.4 |
| Q.Promedio* | 146.8 | 138.1 | 130.3 | 135.1 | 142.2 | 130.0 | 84.8 | 43.9 | 27.8 | 21.5 | 27.8 | 83.2 |
| Q.Min.Mes* | 26.0 | 51.5 | 40.6 | 46.1 | 47.0 | 27.7 | 26.9 | 18.0 | 14.1 | 10.2 | 8.9 | 12.5 |

Río Biobío en Llanquén



| | Jun | Jul | Ago | Sep | Oct | Nov | Dic | Ene | Feb | Mar | Abr | May |
|--------------------|-------|-------|-------|-------|-------|-------|-------|------|------|------|------|------|
| Q.2025-2026 | 49.7 | 60.2 | 136.0 | 138.6 | 120.2 | 77.0 | 47.1 | 31.5 | 26.3 | 38.4 | 33.2 | 58.8 |
| Q.2024-2025 | 296.1 | 184.6 | 151.9 | 142.4 | 379.1 | 246.8 | 105.3 | 49.0 | 29.6 | 23.3 | 31.2 | 52.6 |
| Q.Promedio* | 146.1 | 187.6 | 178.7 | 205.3 | 239.6 | 214.0 | 106.9 | 54.4 | 35.6 | 28.7 | 34.1 | 58.2 |
| Q.Min.Mes* | 23.3 | 46.1 | 67.2 | 105.2 | 96.0 | 63.7 | 50.8 | 31.8 | 22.9 | 19.5 | 19.7 | 27.0 |

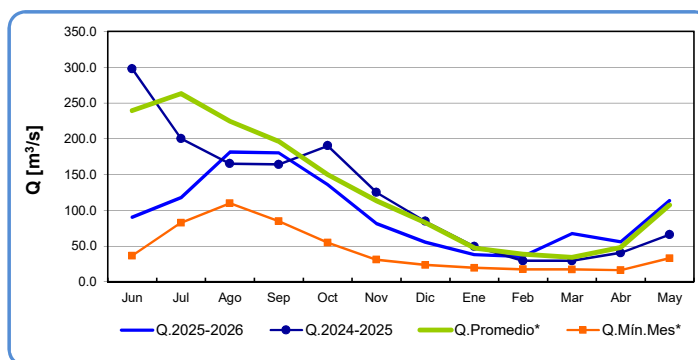
Río Biobío en Rucalhue



| | Jun | Jul | Ago | Sep | Oct | Nov | Dic | Ene | Feb | Mar | Abr | May |
|--------------------|-------|-------|-------|-------|-------|-------|-------|-------|-------|-------|-------|-------|
| Q.2025-2026 | 222.5 | 239.3 | 484.9 | 398.9 | 357.7 | (*) | 65.0 | 83.9 | 132.0 | 168.4 | 149.6 | 226.7 |
| Q.2024-2025 | 692.7 | 502.4 | 540.1 | 494.4 | 668.5 | 535.8 | 292.9 | 151.3 | 144.1 | 135.8 | 156.8 | 248.2 |
| Q.Promedio* | 587.1 | 643.6 | 559.4 | 560.4 | 568.4 | 478.8 | 325.0 | 186.8 | 139.8 | 124.6 | 148.2 | 299.0 |
| Q.Min.Mes* | 92.1 | 192.5 | 214.0 | 211.5 | 208.1 | 130.8 | 87.1 | 84.0 | 68.6 | 70.8 | 61.9 | 87.3 |

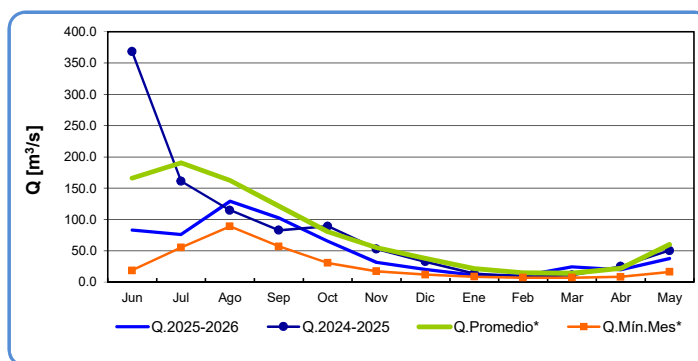
(*) Problemas en la configuración de equipos (Trama de datos)

Río Cautín en Cajón



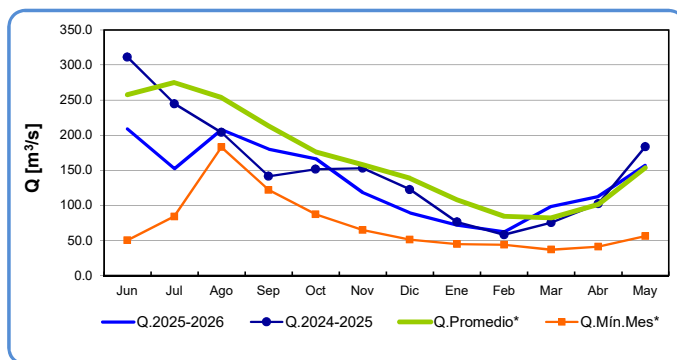
| | Jun | Jul | Ago | Sep | Oct | Nov | Dic | Ene | Feb | Mar | Abr | May |
|--------------------|-------|-------|-------|-------|-------|-------|------|------|------|------|------|-------|
| Q.2025-2026 | 90.0 | 117.6 | 181.3 | 179.9 | 135.6 | 81.3 | 55.2 | 37.7 | 35.3 | 67.2 | 55.8 | 113.3 |
| Q.2024-2025 | 297.5 | 200.2 | 165.0 | 163.9 | 190.0 | 124.7 | 84.4 | 49.4 | 29.3 | 29.3 | 40.5 | 66.0 |
| Q.Promedio* | 239.1 | 262.9 | 224.4 | 196.3 | 149.6 | 113.1 | 82.4 | 47.3 | 38.5 | 34.1 | 47.9 | 106.9 |
| Q.Min.Mes* | 36.3 | 82.3 | 109.7 | 84.7 | 54.7 | 30.8 | 23.4 | 19.3 | 17.3 | 17.1 | 16.1 | 32.8 |

Río Cruces en Rucaco



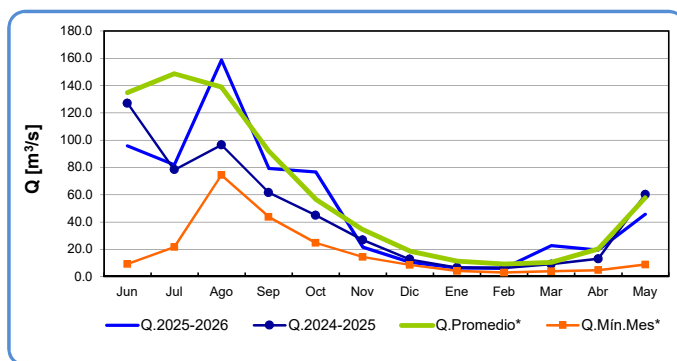
| | Jun | Jul | Ago | Sep | Oct | Nov | Dic | Ene | Feb | Mar | Abr | May |
|--------------------|-------|-------|-------|-------|------|------|------|------|------|------|------|------|
| Q.2025-2026 | 83.2 | 75.8 | 129.0 | 102.6 | 65.4 | 31.6 | 20.5 | 11.0 | 10.2 | 24.5 | 19.8 | 37.6 |
| Q.2024-2025 | 368.3 | 161.3 | 114.8 | 82.9 | 89.2 | 52.9 | 32.7 | 13.6 | 8.4 | 11.2 | 24.9 | 50.4 |
| Q.Promedio* | 165.9 | 190.5 | 162.5 | 121.6 | 80.5 | 55.1 | 37.7 | 21.1 | 14.5 | 14.1 | 21.7 | 60.4 |
| Q.Min.Mes* | 18.5 | 55.0 | 89.1 | 56.9 | 30.7 | 17.5 | 11.9 | 8.7 | 7.1 | 7.2 | 8.3 | 16.5 |

Río Pilmaiquén en San Pablo



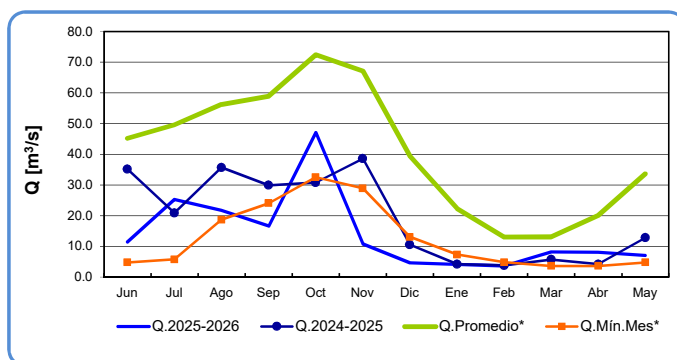
| | Jun | Jul | Ago | Sep | Oct | Nov | Dic | Ene | Feb | Mar | Abr | May |
|--------------------|-------|-------|-------|-------|-------|-------|-------|-------|------|------|-------|-------|
| Q.2025-2026 | 208.9 | 152.3 | 208.0 | 180.1 | 166.3 | 118.2 | 89.5 | 72.2 | 62.2 | 98.4 | 112.9 | 156.9 |
| Q.2024-2025 | 311.4 | 244.7 | 204.1 | 141.5 | 151.6 | 153.0 | 122.5 | 76.2 | 58.2 | 75.5 | 102.4 | 183.5 |
| Q.Promedio* | 257.7 | 275.0 | 253.9 | 213.1 | 176.3 | 157.9 | 138.7 | 108.2 | 84.4 | 82.1 | 101.1 | 153.5 |
| Q.Min.Mes* | 50.4 | 84.2 | 182.9 | 121.7 | 87.3 | 64.8 | 51.3 | 44.9 | 43.8 | 36.9 | 41.2 | 56.3 |

Río Negro en Chahuilco



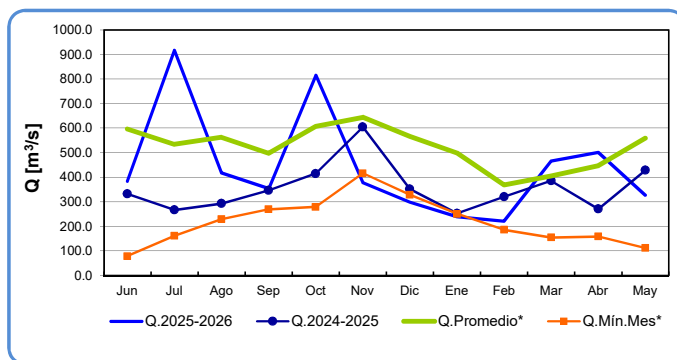
| | Jun | Jul | Ago | Sep | Oct | Nov | Dic | Ene | Feb | Mar | Abr | May |
|--------------------|-------|-------|-------|------|------|------|------|------|-----|------|------|------|
| Q.2025-2026 | 95.9 | 81.9 | 158.6 | 79.0 | 76.7 | 21.4 | 10.5 | 6.3 | 6.1 | 22.7 | 19.3 | 45.5 |
| Q.2024-2025 | 127.1 | 78.3 | 96.6 | 61.5 | 44.8 | 26.9 | 12.6 | 6.6 | 6.3 | 9.0 | 12.9 | 60.1 |
| Q.Promedio* | 134.7 | 148.6 | 139.0 | 92.1 | 56.7 | 34.3 | 18.7 | 11.3 | 9.3 | 10.4 | 20.2 | 57.7 |
| Q.Min.Mes* | 9.2 | 21.7 | 74.3 | 43.7 | 24.7 | 14.4 | 8.6 | 4.1 | 3.0 | 3.9 | 4.6 | 8.7 |

Río Cisnes ante junta Río Moro



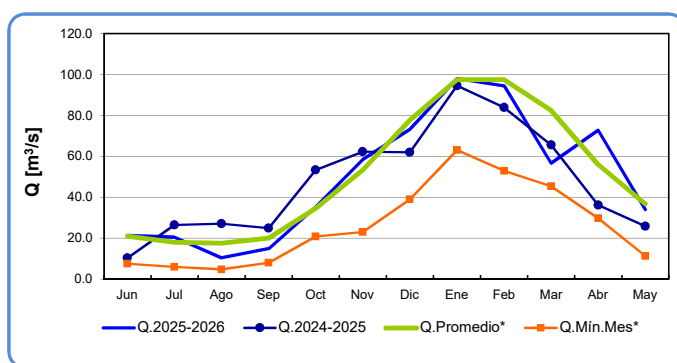
| | Jun | Jul | Ago | Sep | Oct | Nov | Dic | Ene | Feb | Mar | Abr | May |
|--------------------|------|------|------|------|------|------|------|------|------|------|------|------|
| Q.2025-2026 | 11.4 | 25.3 | 21.7 | 16.6 | 47.1 | 10.8 | 4.7 | 4.1 | 3.7 | 8.2 | 8.1 | 7.1 |
| Q.2024-2025 | 35.2 | 20.9 | 35.7 | 29.9 | 30.8 | 38.6 | 10.6 | 4.2 | 3.8 | 5.7 | 4.2 | 12.8 |
| Q.Promedio* | 45.2 | 49.6 | 56.3 | 58.9 | 72.4 | 67.1 | 39.4 | 22.4 | 13.0 | 13.1 | 20.1 | 33.6 |
| Q.Min.Mes* | 4.8 | 5.8 | 18.7 | 24.1 | 32.5 | 28.9 | 13.1 | 7.3 | 4.8 | 3.6 | 3.6 | 4.8 |

Río Aysén en Puerto Aysén



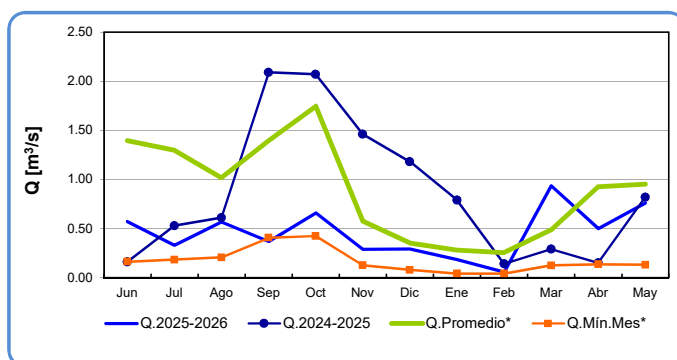
| | Jun | Jul | Ago | Sep | Oct | Nov | Dic | Ene | Feb | Mar | Abr | May |
|--------------------|-------|-------|-------|-------|-------|-------|-------|-------|-------|-------|-------|-------|
| Q.2025-2026 | 384.4 | 917.0 | 417.9 | 354.5 | 816.0 | 377.9 | 297.8 | 240.2 | 221.7 | 466.7 | 501.2 | 327.3 |
| Q.2024-2025 | 332.5 | 267.0 | 293.0 | 347.0 | 415.0 | 605.0 | 351.5 | 253.0 | 320.4 | 385.6 | 270.9 | 428.5 |
| Q.Promedio* | 596.8 | 534.6 | 563.5 | 497.4 | 607.5 | 644.7 | 567.0 | 499.0 | 369.0 | 405.7 | 446.3 | 559.2 |
| Q.Min.Mes* | 79.1 | 161.6 | 229.9 | 270.3 | 279.5 | 416.6 | 328.1 | 250.9 | 186.7 | 154.8 | 158.9 | 111.8 |

Río Paine en Parque Nacional 2



| | Jun | Jul | Ago | Sep | Oct | Nov | Dic | Ene | Feb | Mar | Abr | May |
|--------------------|------|------|------|------|------|------|------|------|------|------|------|------|
| Q.2025-2026 | 21.3 | 20.5 | 10.4 | 14.9 | 35.4 | 58.5 | 73.2 | 98.0 | 94.4 | 56.6 | 72.8 | 33.9 |
| Q.2024-2025 | 10.3 | 26.5 | 27.1 | 24.9 | 53.3 | 62.3 | 61.9 | 94.5 | 83.9 | 65.6 | 36.2 | 25.9 |
| Q.Promedio* | 20.9 | 18.0 | 17.5 | 20.0 | 34.6 | 53.3 | 77.7 | 97.5 | 97.4 | 82.5 | 56.0 | 36.7 |
| Q.Min.Mes* | 7.5 | 6.0 | 4.8 | 8.0 | 20.8 | 23.1 | 38.9 | 63.0 | 52.9 | 45.4 | 29.7 | 11.3 |

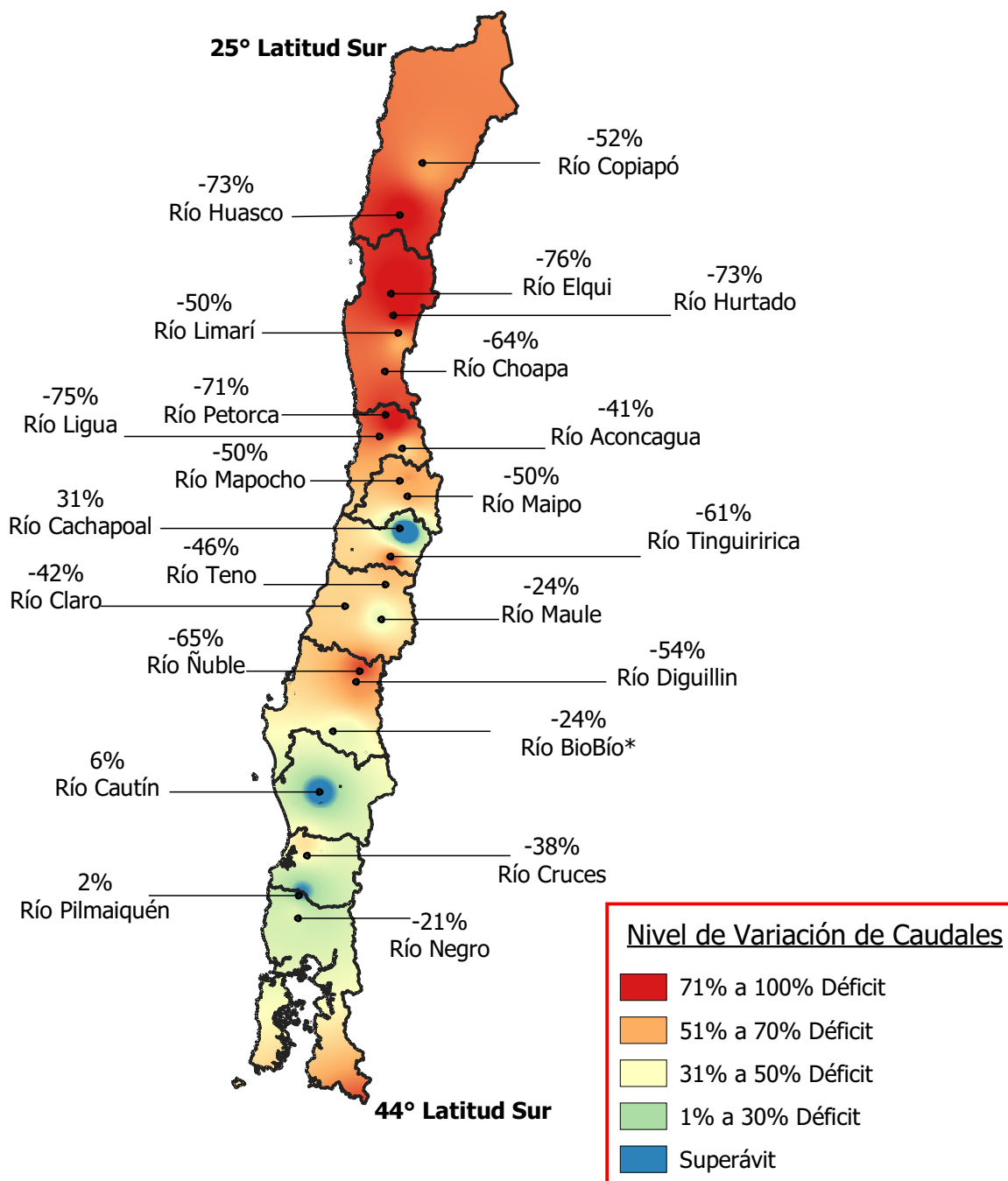
Río Las Minas en B.T. Sendos



| | Jun | Jul | Ago | Sep | Oct | Nov | Dic | Ene | Feb | Mar | Abr | May |
|--------------------|------|------|------|------|------|------|------|------|------|------|------|------|
| Q.2025-2026 | 0.57 | 0.33 | 0.57 | 0.37 | 0.66 | 0.29 | 0.29 | 0.19 | 0.06 | 0.94 | 0.50 | 0.76 |
| Q.2024-2025 | 0.16 | 0.53 | 0.61 | 2.09 | 2.07 | 1.46 | 1.18 | 0.79 | 0.14 | 0.29 | 0.15 | 0.82 |
| Q.Promedio* | 1.40 | 1.30 | 1.02 | 1.40 | 1.75 | 0.57 | 0.35 | 0.28 | 0.26 | 0.49 | 0.93 | 0.95 |
| Q.Min.Mes* | 0.16 | 0.18 | 0.21 | 0.41 | 0.42 | 0.13 | 0.08 | 0.04 | 0.04 | 0.12 | 0.14 | 0.13 |

* Caudales Promedio y Mínimos Mensuales del período 1991 - 2020

Mapa de Variación de Caudales para el mes de mayo de 2026 con respecto al promedio histórico del mismo mes en el período 1991-2020.



(*) Estación Fluviométrica Río BioBío en Rucalhue se encuentra regulada en su medición por la descarga de caudales provenientes desde una serie de embalses ubicados a en distintos tramos del río aguas arriba. Ralco, Pangue y Angostura (desde aguas arriba hacia aguas abajo)

2.3 EMBALSES

Tabla 3
Volúmenes Almacenados
Al 31 de mayo de 2026
(mill-m³)

| EMBALSE | REGIÓN CUENCA | CAPACIDAD | PROMEDIO HISTÓRICO MENSUAL | VOL. ACTUAL VS CAPACIDAD (%) | MAYO | | USO PRINCIPAL |
|----------------|---------------------|-----------|----------------------------|------------------------------|-------|--------|--------------------|
| | | | | | 2026 | 2025 | |
| Conchi | AntofagaLoa | 22 | 16 | 82% | 18.1 | 20.3 | Riego |
| Lautaro | Atacama Copiapó | 26 | 10 | 8% | 2.0 | 4.8 | Riego |
| Santa Juana | Atacama Huasco | 166 | 122 | 52% | 85.5 | 98.2 | Riego |
| La Laguna | Coquimb Elqui | 38 | 27 | 23% | 8.7 | 16.3 | Riego |
| Puclaro | Coquimb Elqui | 209 | 133 | 11% | 23.8 | 33.1 | Riego |
| Recoleta (+) | Coquimb Limarí | 100 | 58 | 9% | 9.0 | 15.3 | Riego |
| La Paloma (+) | Coquimb Limarí | 750 | 372 | 5% | 34.4 | 46.6 | Riego |
| Cogotí | Coquimb Limarí | 156 | 60 | 11% | 16.6 | 35.1 | Riego |
| Culimo | Coquimb Quilimarí | 10 | 2 | 37% | 3.7 | 4.8 | Riego |
| El Bato | Coquimb Choapa | 26 | 18 | 61% | 15.5 | 21.4 | Riego |
| Corrales | Coquimb Choapa | 50 | 29 | 51% | 25.7 | 40.2 | Riego |
| Aromos | Valparaís Aconcagua | 35 | 22 | 46% | 16.1 | 24.1 | Agua Potable |
| Peñuelas | Valparaís Peñuelas | 95 | 15 | 6% | 5.6 | 8.2 | Agua Potable |
| El Yeso | Metropol Maipo | 220 | 190 | 67% | 147.1 | 183.2 | Agua Potable |
| Convento Viejo | O'Higgir Rapel | 237 | 119 | 65% | 154.1 | 139.6 | Riego |
| Rapel | O'Higgir Rapel | 695 | 474 | 57% | 394.3 | 409.9 | Generación |
| Colbún | Maule Maule | 1544 | 752 | 47% | 719.6 | 781.2 | Generación |
| Lag. Maule (#) | Maule Maule | 1359 | 636 | 46% | 621.8 | 743.1 | Generación y Riego |
| Bullileo | Maule Maule | 60 | 8 | 8% | 5.0 | 6.0 | Riego |
| Digua | Maule Maule | 225 | 36 | 16% | 36.1 | 30.6 | Riego |
| Tutuvén | Maule Maule | 22 | 3 | 5% | 1.0 | 1.6 | Riego |
| Coihueco | Ñuble Itata | 29 | 5 | 54% | 15.8 | 3.3 | Riego |
| Lago Laja | Biobío Biobío | 5582 | 1447 | 17% | 974.3 | 1605.5 | Generación y Riego |
| Ralco | Biobío Biobío | 1174 | 490 | 52% | 606.0 | 433.6 | Generación |
| Pangué | Biobío Biobío | 83 | 71 | 87% | 72.3 | 72.8 | Generación |

(+) Volumen del embalse Paloma en atención a la curva de almacenamiento del "Estudio Topobatimétrico y Análisis de Prolongación de la Vida útil del Embalse Paloma, Región de Coquimbo" desarrollado por la Dirección de Obras Hidráulicas el año 2016

(++) Capacidad máxima del embalse considerando peraltamiento de vertedero aprobado mediante Resolución DGA N°239, de 15 de febrero de 2021

(#) Volumen de Laguna del Maule en atención a la curva de almacenamiento del Estudio "Servicio levantamiento lidar, batimetría, topografía y radiofrecuencia embalse Laguna del Maule, Región del Maule", DOH 2022

Tabla 4
Resumen Anual

| EMBALSE | 2025-2026 | | | | | | | | | | | |
|----------------|-----------|--------|--------|--------|--------|--------|--------|--------|--------|--------|--------|-------|
| | J | J | A | S | O | N | D | E | F | M | A | M |
| Conchi | 20.9 | 21.5 | 21.4 | 21.0 | 20.5 | 19.7 | 19.1 | 19.0 | 17.9 | 17.5 | 17.5 | 18.1 |
| Lautaro (*) | 5.2 | 5.4 | 5.4 | 5.3 | 3.9 | 2.7 | 1.8 | 2.7 | 2.7 | 2.1 | 2.0 | 2.0 |
| Santa Juana | 105.8 | 110.5 | 117.0 | 118.9 | 117.2 | 113.5 | 108.0 | 102.3 | 93.7 | 88.2 | 85.5 | 85.5 |
| La Laguna (**) | 16.6 | 17.2 | 17.7 | 18.1 | 18.0 | 17.0 | 15.5 | 13.1 | 11.0 | 9.6 | 9.0 | 8.7 |
| Puclaro (**) | 35.9 | 39.3 | 44.6 | 46.5 | 45.3 | 42.1 | 38.2 | 33.9 | 30.2 | 27.0 | 25.1 | 23.8 |
| Recoleta (***) | 16.5 | 18.0 | 21.6 | 22.2 | 21.2 | 20.5 | 19.1 | 16.5 | 14.1 | 12.0 | 10.1 | 9.0 |
| La Paloma | 52.4 | 57.5 | 73.8 | 82.9 | 86.1 | 81.9 | 71.5 | 60.4 | 50.0 | 40.8 | 35.5 | 34.4 |
| Cogotí | 34.9 | 35.2 | 38.3 | 39.0 | 39.0 | 36.4 | 32.8 | 29.6 | 25.7 | 21.8 | 18.4 | 16.6 |
| Culimo | 4.8 | 4.9 | 5.0 | 5.2 | 5.2 | 5.2 | 4.8 | 4.7 | 4.3 | 4.0 | 3.8 | 3.7 |
| El Bato | 22.2 | 23.3 | 25.2 | 25.7 | 25.6 | 25.0 | 23.2 | 21.0 | 18.8 | 17.0 | 16.1 | 15.5 |
| Corrales | 40.0 | 40.6 | 43.7 | 47.2 | 50.2 | 49.2 | 45.3 | 40.5 | 37.5 | 31.3 | 27.6 | 25.7 |
| Aromos | 29.4 | 33.9 | 35.6 | 35.5 | 34.8 | 32.7 | 30.0 | 26.9 | 23.6 | 20.5 | 18.2 | 16.1 |
| Peñuelas | 8.8 | 10.5 | 10.6 | 10.4 | 9.8 | 9.1 | 8.4 | 7.6 | 7.0 | 6.3 | 5.9 | 5.6 |
| El Yeso | 181.0 | 180.5 | 185.6 | 185.3 | 185.9 | 187.2 | 196.8 | 204.4 | 194.7 | 177.3 | 157.9 | 147.1 |
| Convento Viejo | 201.2 | 210.9 | 206.6 | 214.2 | 207.9 | 199.1 | 169.9 | 122.7 | 87.8 | 93.0 | 117.2 | 154.1 |
| Rapel | 417.8 | 482.0 | 533.3 | 550.8 | 575.9 | 599.3 | 597.8 | 597.8 | 594.2 | 480.0 | 429.1 | 394.3 |
| Colbún | 611.1 | 591.4 | 833.6 | 1051.8 | 1226.9 | 1258.8 | 1164.7 | 1034.6 | 926.0 | 924.7 | 817.9 | 719.6 |
| Lag. Maule (#) | 731.1 | 746.1 | 765.4 | 782.0 | 803.0 | 827.7 | 808.8 | 717.6 | 675.6 | 670.0 | 648.9 | 621.8 |
| Bullileo | 14.7 | 21.5 | 39.8 | 51.7 | 60.1 | 59.7 | 46.3 | 21.4 | 1.4 | 1.0 | 2.3 | 5.0 |
| Digua | 73.2 | 118.2 | 190.1 | 224.3 | 220.9 | 178.3 | 119.0 | 55.5 | 18.2 | 22.8 | 24.2 | 36.1 |
| Tutuvén | 3.6 | 4.7 | 7.5 | 8.4 | 8.8 | 7.5 | 5.5 | 3.6 | 1.9 | 1.0 | 0.9 | 1.0 |
| Coihueco | 10.2 | 21.4 | 27.1 | 28.5 | 29.6 | 28.5 | 23.0 | 15.6 | 9.1 | 9.6 | 11.3 | 15.8 |
| Lago Laja (&) | 1451.9 | 1376.3 | 1457.0 | 1528.5 | 1605.5 | 1616.7 | 1482.6 | 1295.3 | 1134.8 | 1071.2 | 1043.3 | 974.3 |
| Ralco | 410.1 | 459.1 | 467.0 | 493.6 | 528.5 | 766.5 | 895.2 | 862.4 | 748.8 | 729.0 | 664.4 | 606.0 |
| Pangué | 69.7 | 75.9 | 71.3 | 78.1 | 71.6 | 78.1 | 69.5 | 79.3 | 80.2 | 73.3 | 74.5 | 72.3 |

(*) : Curva corregida por embanque

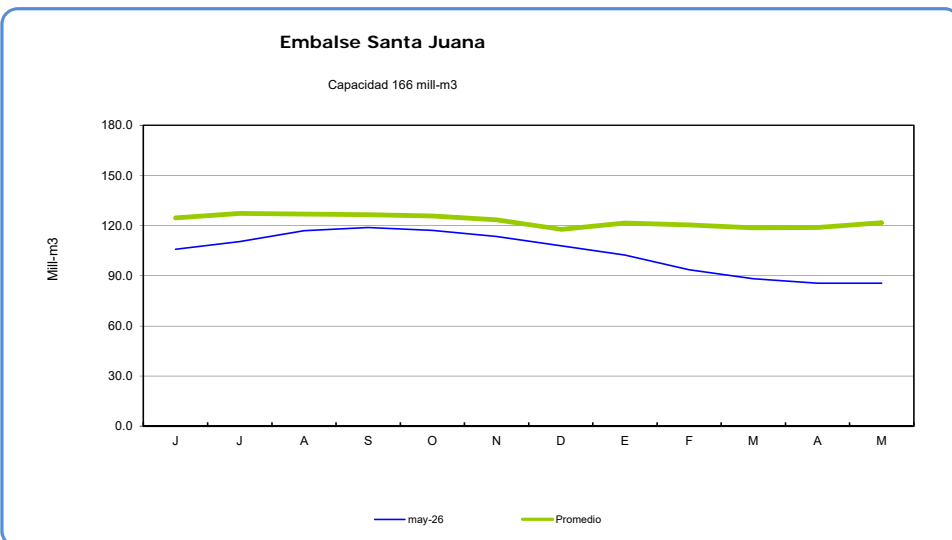
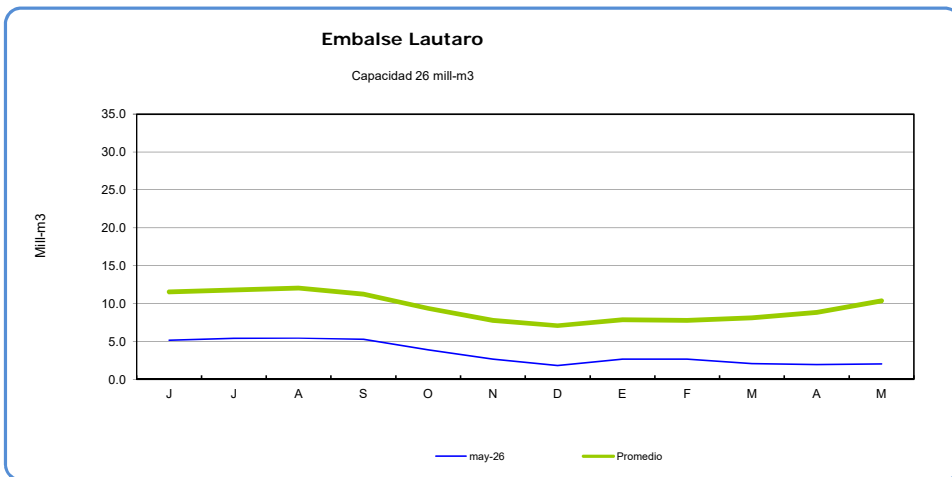
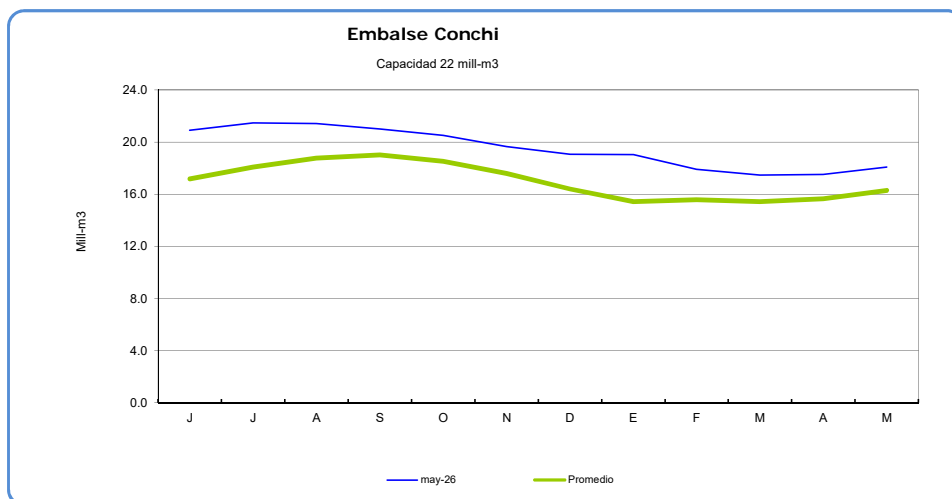
(**) : Se realiza ajuste de Capacidad Máxima.

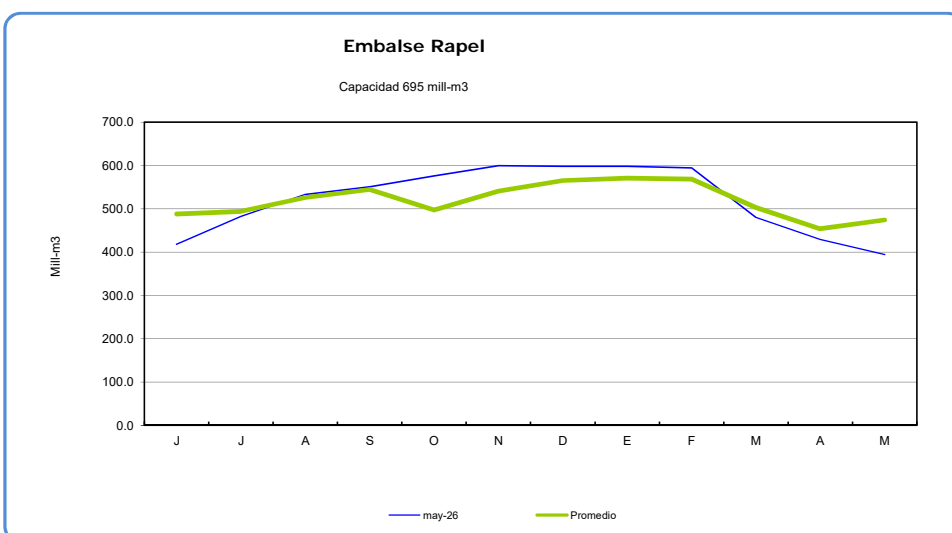
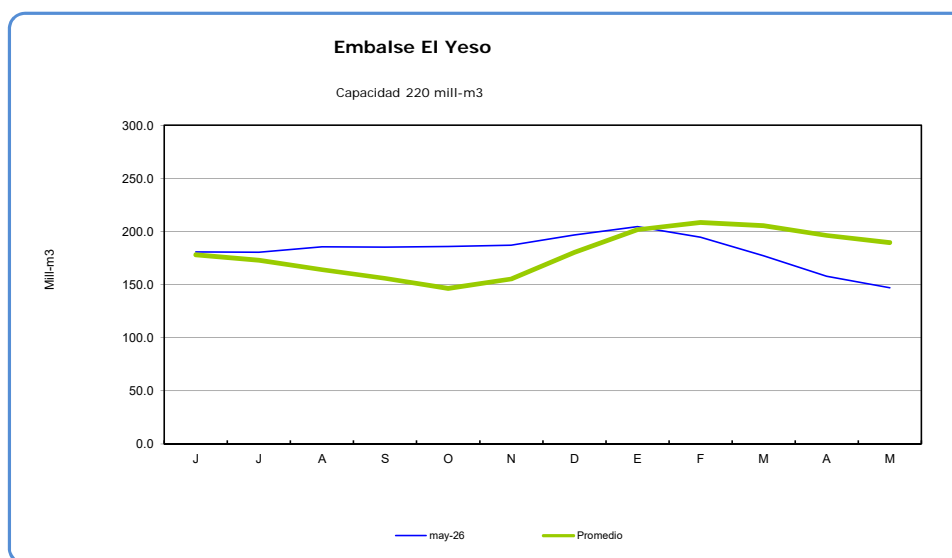
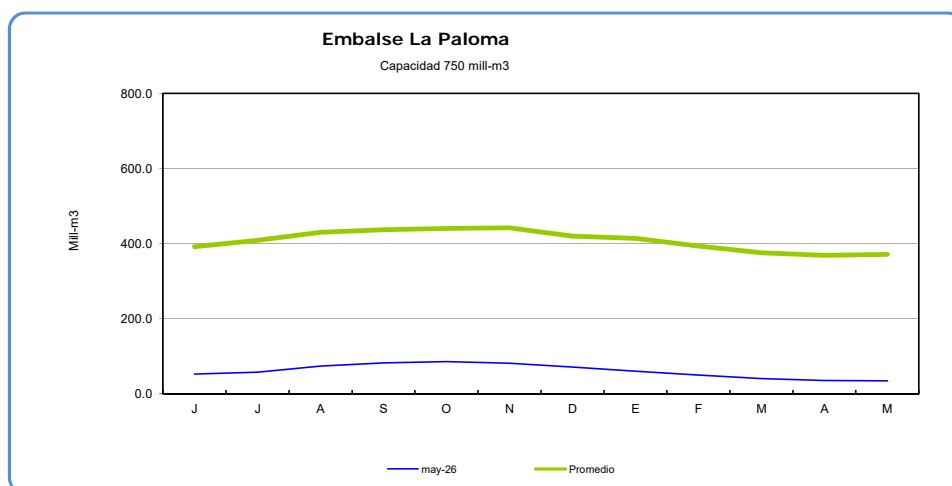
(&) : Volumen sobre cota 1300 msnm

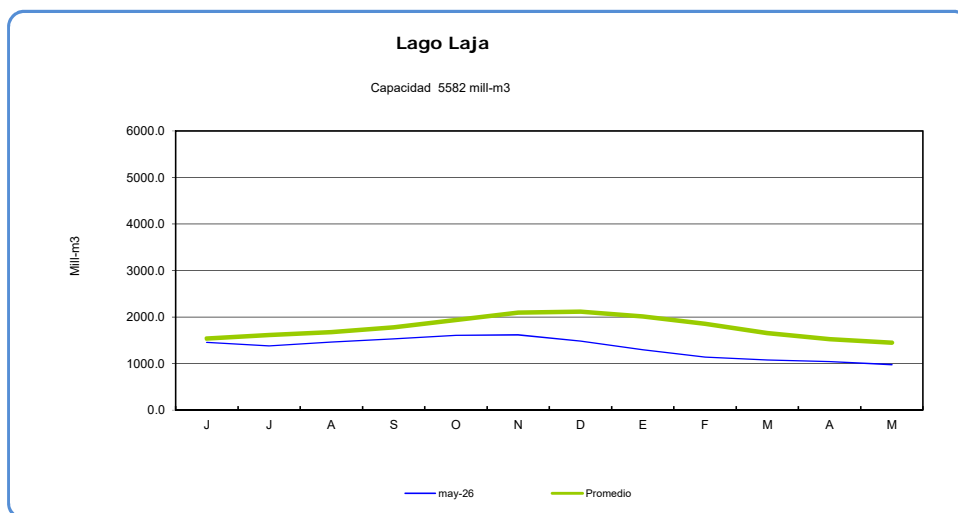
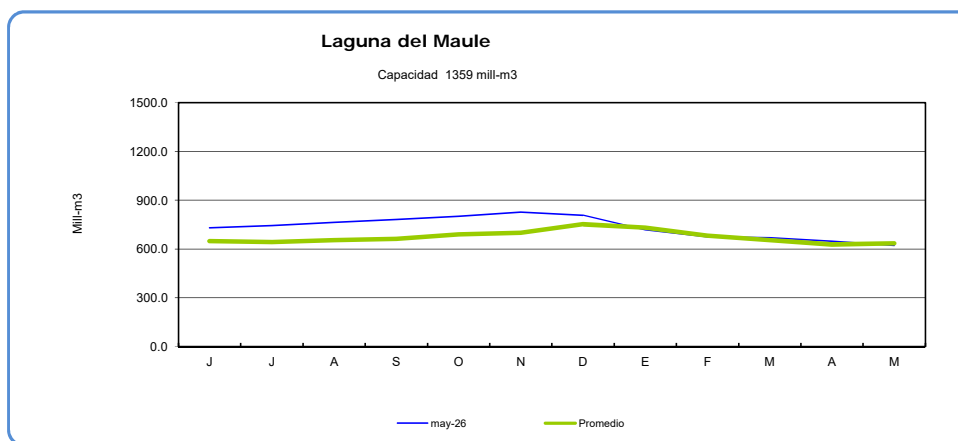
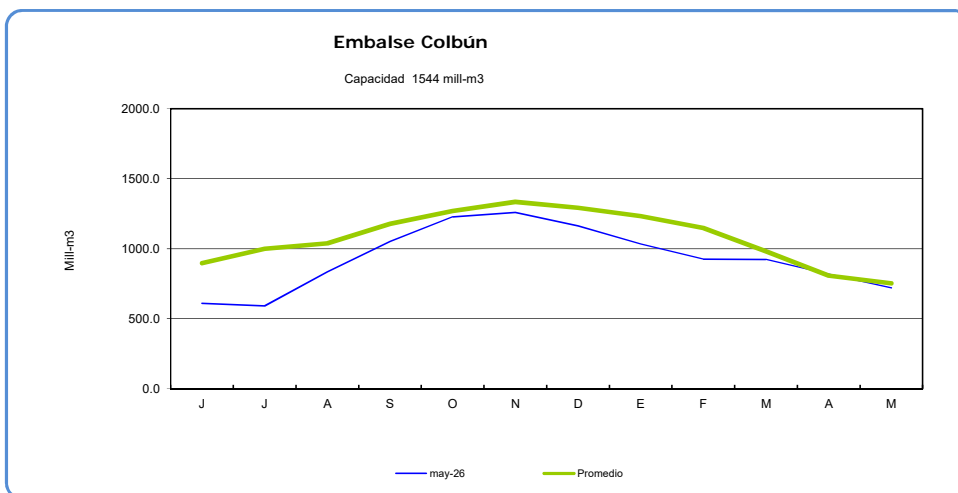
(***) : Capacidad máxima del embalse considerando peraltamiento.

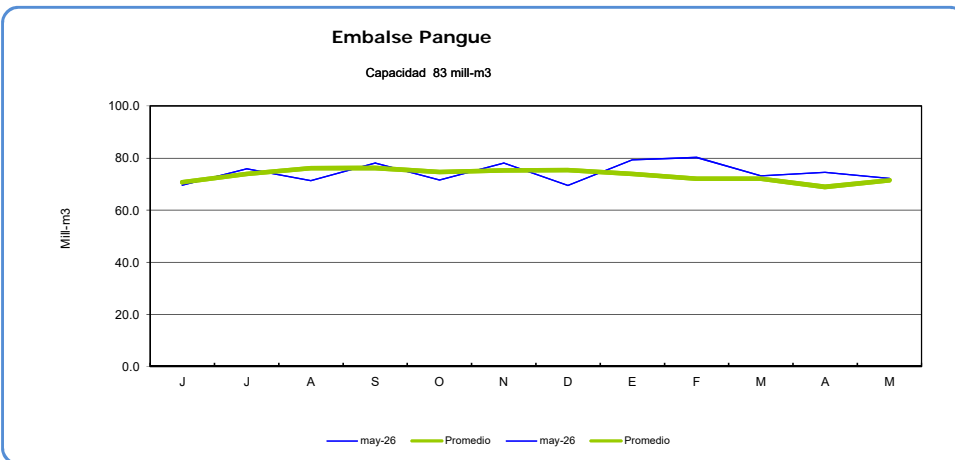
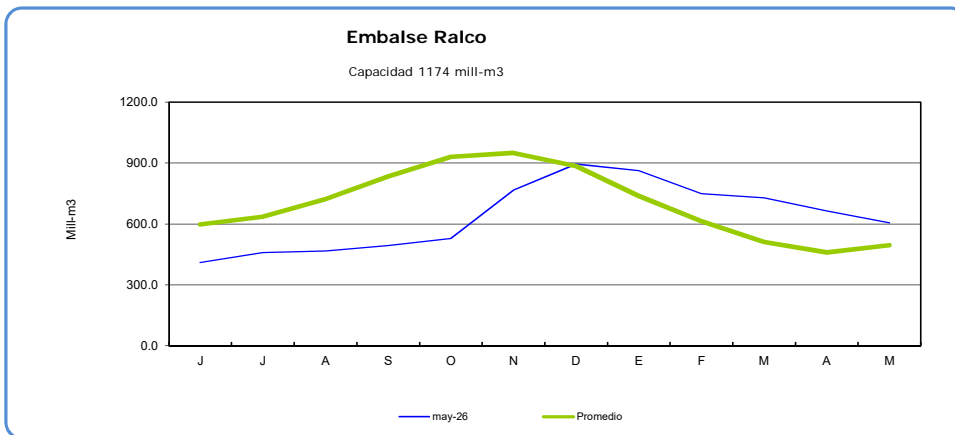
(+) Volumen del embalse Paloma en atención a la curva de almacenamiento del "Estudio Topobatimétrico y Análisis de Prolongación de la Vida útil del Embalse Paloma, Región de Coquimbo" desarrollado por la Dirección de Obras Hidráulicas el año 2016

(#) Volumen de Laguna del Maule en atención a la curva de almacenamiento del Estudio "Servicio levantamiento lidar, batimetría, topografía y radiofrecuencia embalse Laguna del Maule, Región del Maule",









2.4- Aguas Subterráneas

Niveles medidos en pozos

*Gráficos de últimos cinco años.

